



การวิเคราะห์สายอากาศป่วง

ANALYSIS OF LOOP ANTENNAS

นางสาวชนิษฐา สุวรรณกุณาปณ์ รหัส 50364461

ห้องปฏิบัติการวิศวกรรมศาสตร์	120 ก.ศ. 2559
วันที่รับ.....
เวลาที่รับ.....	16.03.046
เวลาที่ออกใบอนุญาต.....
หน้าที่เดินทาง.....	227
.....	2553

ปริญญานิพนธ์นี้เป็นส่วนหนึ่งของการศึกษาหลักสูตรปริญญาวิศวกรรมศาสตรบัณฑิต
สาขาวิชาวิศวกรรมไฟฟ้า ภาควิชาวิศวกรรมไฟฟ้าและคอมพิวเตอร์
คณะวิศวกรรมศาสตร์ มหาวิทยาลัยนเรศวร
ปีการศึกษา 2553



ใบรับรองปริญญานิพนธ์

ชื่อหัวข้อโครงการ การวิเคราะห์สาขางานบ่วง

ผู้ดำเนินโครงการ นางสาวนิษฐา สุวรรณกษาปัล รหัส 50364461

ที่ปรึกษาโครงการ ดร.ชัยรัตน์ พินทอง

สาขาวิชา วิศวกรรมไฟฟ้า

ภาควิชา วิศวกรรมไฟฟ้าและคอมพิวเตอร์

ปีการศึกษา 2553

คณะวิศวกรรมศาสตร์ มหาวิทยาลัยนเรศวร อนุมัติให้ปริญญานิพนธ์ฉบับนี้เป็นส่วนหนึ่ง
ของการศึกษาตามหลักสูตรวิศวกรรมศาสตรบัณฑิต สาขาวิชาวิศวกรรมไฟฟ้า

...../...../..... ที่ปรึกษาโครงการ
(ดร.ชัยรัตน์ พินทอง)

...../...../..... กรรมการ
(ผู้ช่วยศาสตราจารย์ ดร. อุรเชษฐ์ กานต์ประชา)

...../...../..... กรรมการ
(ผู้ช่วยศาสตราจารย์ ดร. อัครพันธ์ วงศ์กังແນ)

ชื่อหัวข้อโครงการ	การวิเคราะห์สายอากาศบ่่วง
ผู้ดำเนินโครงการ	นางสาวชนิษฐา สุวรรณภูมิ รหัส 50364461
ที่ปรึกษาโครงการ	ดร.ธีรัตน์ พินทอง
สาขาวิชา	วิศวกรรมไฟฟ้า
ภาควิชา	วิศวกรรมไฟฟ้าและคอมพิวเตอร์
ปีการศึกษา	2553

บทคัดย่อ

คุณลักษณะของสายอากาศบ่่วงวงกลม ได้รับการนำเสนอ การวิเคราะห์อาศัยศักย์เชิงเวกเตอร์และการประมาณของสถานะบริเวณย่านสันาน ไกด การประมาณที่ใช้คือ วิธีการประมาณในย่านสันาน ไกด และอนุกรมแมคคลอริน โดยบ่่วงวงกลมน้ำดเล็ก ได้รับการแสดงให้เห็นว่า สมมูลกับได้ไฟล แม่เหล็กน้ำดน้อยยิ่ง ที่มีแกนตั้งฉากกับระนาบของบ่่วง ซึ่งแบบรูปการແเพ็พลังงานของสภาพเจาะจงทิศทาง ได้รับการนำเสนอ แบบรูปทั้งหมดมีค่าลิ่นบอดตามแนวแกน และมีค่าสูงสุดตามระนาบของบ่่วง สภาพเจาะจงทิศทาง และความกว้างลำคลื่นครึ่งกำลัง จากทั้งสองวิธีของการประมาณจะได้รับการเปรียบเทียบกัน และให้ผลที่สอดคล้องกันเป็นอย่างดี บ่่วงน้ำดใหญ่ขึ้นแสดงให้เห็นว่าจะให้สภาพเจาะจงทิศทางน้อยลง ความกว้างลำคลื่นครึ่งกำลังกว้างขึ้น และความด้านท่านการແเพ็พลังงานสูงขึ้น โปรแกรม MATLAB ได้รับการพัฒนาขึ้นสำหรับสายอากาศบ่่วงซึ่งสามารถลดระยะเวลาในการคำนวณและทำให้การวิเคราะห์สายอากาศบ่่วงสะดวกมากยิ่งขึ้น

Project title	Analysis of Loop Antennas
Name	Miss. Khanitha Suwankasarp ID. 50364461
Project advisor	Mr. Chairat Pinthong, Ph.D.
Major	Electrical Engineering
Department	Electrical and Computer Engineering
Academic year	2010

Abstract

The characteristics of circular loop antenna are presented. The analysis procedure involves using a vector potential and approximations for fields in far-field region. The approximations used are the methods of far-field approximation and Maclaurin's series. It is shown that a circular small loop is equivalent to an infinitesimal magnetic dipole whose axis is perpendicular to the plane of the loop. Radiation patterns of directivity are presented. All patterns have nulls along the axis and a maximum along the plane of the loop. The directivity and half-power beamwidth (HPBW) from two methods of approximation are compared yielding the results with good agreement. The larger loop is shown to produce smaller directivity, broader HPBW and higher radiation resistance. The MATLAB program is developed for the loop antennas to reduce computation time and making the analysis more convenient.

กิตติกรรมประกาศ

ปริญญาบัณฑ์นี้เป็นการศึกษาเกี่ยวกับเรื่องการวิเคราะห์สายอาชญากรรม ซึ่งสามารถดำเนินการลุล่วงไปด้วยดี ผู้ดำเนินโครงการขอขอบพระคุณบุคคลที่มีส่วนช่วยเหลือให้คำปรึกษา แนะนำ และให้ความอนุเคราะห์ในการดำเนินงานตลอดมาจนสำเร็จ ผู้ดำเนินโครงการจึงขอขอบพระคุณทุกๆท่าน ดังต่อไปนี้

ขอขอบพระคุณ ดร.ชัยรัตน์ พินทอง อาจารย์ภาควิชาชีวกรรม ไฟฟ้าและคอมพิวเตอร์ มหาวิทยาลัยเกรียง ผู้เป็นอาจารย์ที่ปรึกษาโครงการที่ได้ให้ความรู้ ให้อาใจ ใส่ดูแลให้คำแนะนำ ปรึกษาโครงการอย่างสม่ำเสมอ และให้ความช่วยเหลือแก่ผู้จัดทำเป็นอย่างดีตลอดมาจนกระทั่งสำเร็จลุล่วงไปได้ด้วยดี

ขอขอบพระคุณ ผู้ช่วยศาสตราจารย์ ดร.สุรเชษฐ์ กานต์ประชา และ ผู้ช่วยศาสตราจารย์ ดร.อัครพันธ์ วงศ์กังแห อาจารย์ประจำภาควิชาชีวกรรม ไฟฟ้าและคอมพิวเตอร์ มหาวิทยาลัยเกรียง ผู้เป็นกรรมการคุณสอบโครงการซึ่งเสียเวลาในการเข้าคุณสอบโครงการและได้กรุณาให้คำชี้แนะในสิ่งที่เป็นประโยชน์ต่อผู้ดำเนินโครงการ ซึ่งคำแนะนำและคำชี้แนะเหล่านี้สามารถนำไปปรับใช้กับการดำเนินงานในครั้งต่อๆไป

และขอขอบพระคุณผู้ที่มีส่วนเกี่ยวข้องทุกท่านที่ไม่ได้กล่าวนามมา ณ ที่นี่ ที่มีส่วนร่วมในการให้ข้อมูลและเป็นที่ปรึกษาในการทำปริญญาบัณฑ์นี้ จึงแสดงถึงสมบูรณ์ ผู้จัดทำจึงขอขอบพระคุณไว้ ณ ที่นี่

นางสาวนิษฐา สุวรรณภูมิ

สารบัญ

หน้า

ใบรับรองปริญญานิพนธ์	ก
บทคัดย่อภาษาไทย	ข
บทคัดย่อภาษาอังกฤษ	ก
กิตติกรรมประกาศ	ง
สารบัญ	จ
สารบัญตาราง	ช
สารบัญรูป	ช
บทที่ 1 บทนำ	1
1.1 ที่มาและความสำคัญของโครงการ	1
1.2 วัตถุประสงค์ของโครงการ	1
1.3 ขอบเขตของโครงการ	1
1.4 ขั้นตอนและแผนการดำเนินงาน	2
1.5 ประโยชน์ที่คาดว่าจะได้รับจากโครงการ	2
1.6 งบประมาณ	2
บทที่ 2 หลักการและทฤษฎี	3
สายอาชญากรรม	3
2.1 บ่วงวงกลมขนาดเล็ก	4
2.1.1 สำนวนการที่แพ่ออกไป	4
2.1.2 การประมวลย่านสำนวนไกลโดยใช้อุปกรณ์แม่กลอ Rin	8
2.1.3 บ่วงขนาดเล็กและໄດโพลเม่เหล็กขนาดเล็กมาก	10
2.1.4 ความหนาแน่นพลังงานและความต้านทานการแพ่พลังงาน	11
2.1.5 ย่านสำนวนไกล	13
2.1.6 สำนวนไกล	13
2.1.7 ความเข้มการแพ่พลังงานและสภาพเจาะจงทิศทาง	14
2.2 บ่วงวงกลมที่มีกระแสคงที่	15
2.2.1 การประมวลในย่านสำนวนไกล	16
2.2.2 สำนวนที่แพ่ออกไป	17

สารบัญ (ต่อ)

	หน้า
2.2.3 พารามิเตอร์ของสายอากาศบ่่วง.....	19
2.2.4 การประมาณค่าบ่่วงขนาดใหญ่	20
2.2.5 การประมาณค่าบ่่วงขนาดกลาง	22
2.2.6 การประมาณค่าบ่่วงขนาดเล็ก	22
 บทที่ 3 ผลการวิเคราะห์สายอากาศบ่่วง	 24
3.1 แบบรูปสภาพเฉพาะจังทิศทางของบ่่วง	24
3.2 ความกว้างลำดันครึ่งกำลัง (Half Power Beamwidth).....	33
3.3 ความต้านทานการแผ่พลังงาน	34
 บทที่ 4 สรุปผลและข้อเสนอแนะ	 36
4.1 สรุปผลการวิเคราะห์	36
4.2 ข้อเสนอแนะ	36
 เอกสารอ้างอิง.....	 37
ภาคผนวก ก ศักย์เชิงเวกเตอร์ A จากการแสเสนิออกาศ.....	38
ภาคผนวก ข พังก์ชั้นเบสเซต.....	43
ภาคผนวก ค การอินทิเกรตเชิงตัวเลขโดยใช้ชิมป์สัน	51
ภาคผนวก ง โปรแกรมวิเคราะห์สายอากาศบ่่วง	53
 ประวัติผู้ดำเนินโครงการ.....	 69

สารบัญตาราง

ตารางที่	หน้า
3.1 แสดงค่าสภาพเจาะจงทิศทางสำหรับสายอากาศบ่วงที่ค่าสูงสุด (D_{\max}) ของพลังงานที่แผ่ออกไปที่ค่า $a = 0.1\lambda$, $a = 0.2\lambda$ และ $a = 0.5\lambda$	28
3.2 ค่าความกว้างลำคลื่นครึ่งกำลัง (HPBW) ของพลังงานที่แผ่ออกไปที่ค่า $a = 0.1\lambda$, $a = 0.2\lambda$ และ $a = 0.5\lambda$	33



สารบัญรูป

รูปที่	หน้า
2.1 ลักษณะทางกายภาพของสายอากาศบ่่วง	3
2.2 เเรขคณิตของสายอากาศบ่่วง	5
2.3 เเรขคณิตสำหรับจุดสังเกตในสนามไกล.....	14
3.1 เเรขคณิตสำหรับการวิเคราะห์สายอากาศบ่่วง	24
3.1(ก) เเรขคณิตของสายอากาศบ่่วง	24
3.1(ข) เเรขคณิตสำหรับจุดสังเกตในย่านสนามไกล.....	25
3.2 แบบรูปสภาพเจาะจงทิศทางของบ่่วงจากการประมาณในย่านสนามไกล	26
3.3 แบบรูปสภาพเจาะจงทิศทางของบ่่วงจากอนุกรมแมคคลอริน	27
3.4 แบบรูปสภาพเจาะจงทิศทางของบ่่วงจากการประมาณในย่านสนามไกล และอนุกรมแมคคลอริน เมื่อ $a = 0.1\lambda$	29
3.5 แบบรูปสภาพเจาะจงทิศทางของบ่่วงจากการประมาณในย่านสนามไกล และอนุกรมแมคคลอริน เมื่อ $a = 0.2\lambda$	30
3.6 แบบรูปสภาพเจาะจงทิศทางของบ่่วงจากการประมาณในย่านสนามไกล และอนุกรมแมคคลอริน เมื่อ $a = 0.5\lambda$	31
3.7 สภาพเจาะจงทิศทางสูงสุดของสายอากาศบ่่วงเทียบกับความยาวเส้นรอบวง	32
3.8 ความสัมพันธ์ระหว่างความต้านทานการแผ่พลังงานกับรัศมี (a)	34
3.9 แสดงความสัมพันธ์ระหว่างความต้านทานการแผ่พลังงานเทียบกับความยาวเส้นรอบวง	35

บทที่ 1

บทนำ

1.1 ที่มาและความสำคัญของโครงการ

สาขอาชานบ่วงเป็นสาขอาชานที่มีรูปแบบที่เรียบง่าย ราคาไม่แพง และที่สำคัญใช้งานได้ อย่างอเนกประสงค์ สาขอาชานประเพณีสามารถมีรูปทรงได้หลายลักษณะ เช่น สี่เหลี่ยมจัตุรัส สี่เหลี่ยมผืนผ้า วงกลมและวงรี สาขอาชานแบบบ่วงสามารถรับคลื่นได้กว้าง ส่วนมากจะใช้งานใน ย่าน HF (3-30 MHz), VHF (30-300 MHz) และ UHF (300-3000 MHz) สาขอาชานประเพณีมักจะ ได้รับการใช้งานในโฉมรับสัญญาณ ตัวอย่างการใช้งานได้แก่ ใช้เป็นตัวรับสัญญาณในระบบการ สื่อสารเคลื่อนที่

โครงการฉบับนี้จะเป็นการศึกษาเกี่ยวกับ คุณลักษณะทั่วไปของสาขอาชานบ่วง โดย วิเคราะห์จากศักย์เชิงเวกเตอร์ ร่วมกับการประมาณในย่านสนาณไทย และอนุกรมแมคคลอริน

1.2 วัตถุประสงค์ของโครงการ

- ศึกษาและวิเคราะห์สาขอาชานทั่วไป
- ศึกษาและวิเคราะห์สาขอาชานบ่วง
- ศึกษาหลักการของศักย์เชิงเวกเตอร์ร่วมกับการประมาณในย่านสนาณไทย

1.3 ขอบเขตของโครงการ

- ศึกษาและวิเคราะห์คุณลักษณะของสาขอาชานบ่วงวงกลม
- ศึกษาสนาณที่แผ่อออกไป (radiation field) ความหนาแน่นกำลัง (power density) ความ เข้มการแผ่พลังงาน (radiation intensity) สภาพเจาะจงทิศทาง (directivity) ของ สาขอาชานบ่วงวงกลม
- ศึกษาและพัฒนาโปรแกรม MATLAB ที่ใช้ในการวิเคราะห์สาขอาชานบ่วงวงกลม

1.4 ขั้นตอนการดำเนินงาน

กิจกรรม	ปี 2553		ปี 2554		ปี 2555		ปี 2556		ปี 2557	
	ม.ย. - ธ.ค.	ม.ค. - มี.ค.	พ.ย. - ธ.ค.	ม.ค. - พ.ค.	เม.ย. - ก.ค.	ม.ค. - พ.ค.	พ.ย. - ธ.ค.	ม.ค. - ก.ค.	ม.ค. - พ.ค.	พ.ย. - ธ.ค.
1. ศึกษาหลักการและทฤษฎีของ สาขาวิชาศรีทั่วไป	↔									
2. ศึกษาหลักการพื้นฐานและ วิเคราะห์คุณลักษณะของ สาขาวิชาศรีทั่วไป หลักการสำนวนการและ พัฒนา			↔							
3. ศึกษาการใช้โปรแกรม MATLAB ที่ใช้สำหรับการ วิเคราะห์สาขาวิชาศรีทั่วไป				↔						
4. รวบรวมข้อมูลที่ได้จากการ วิเคราะห์สาขาวิชาศรีทั่วไป						↔				
5. สรุปคุณสมบัติ และคุณลักษณะ ของสาขาวิชาศรีทั่วไป							↔			

1.5 ประโยชน์ที่คาดว่าจะได้รับ

1. เข้าใจคุณสมบัติและคุณลักษณะของสาขาวิชาศรีทั่วไป
2. สามารถนำความรู้ทางคณิตศาสตร์ มาประยุกต์ใช้กับการวิเคราะห์สาขาวิชาได้
3. เข้าใจเกี่ยวกับโปรแกรม MATLAB พร้อมการเชื่อมต่อกับผู้ใช้ทางกราฟิก สำหรับ
วิเคราะห์สาขาวิชาศรีทั่วไป

1.6 งบประมาณของโครงการ

1. ค่าจัดทำเอกสารและเข้ารูปเล่นโครงการ 700 บาท

2. ค่าวัสดุ อุปกรณ์สำนักงาน 200 บาท

3. อื่นๆ 100 บาท

รวมเป็นเงินทั้งสิ้น (หนึ่งพันบาทถ้วน) 1,000 บาท

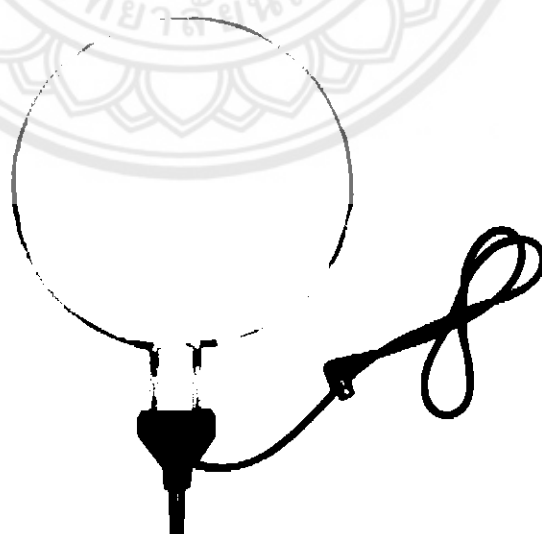
หมายเหตุ: ถ้าเฉลี่ยทุกรายการ

บทที่ 2

ทฤษฎีเกี่ยวกับ

สายอากาศบ่วงเป็นสายอากาศย่างง่าย ราคาถูก และใช้ประโยชน์ได้หลากหลาย สายอากาศบ่วง มีหลายรูปแบบ เช่น วงกลมและรูปแบบอื่นๆ อีกมาก many เพราะสามารถวิเคราะห์และสร้างขึ้นได้ง่าย สายอากาศบ่วงที่เป็นที่นิยมมากคือ บ่วงขนาดเล็ก สายอากาศบ่วงจะแบ่งออกเป็นสองประเภท คือ สายอากาศขนาดเชิงไฟฟ้านาคเล็ก (electrically small) และสายอากาศขนาดเชิงไฟฟ้านาคใหญ่ (electrically large) สายอากาศขนาดเชิงไฟฟ้านาคเล็กมีความยาวทั้งหมด (เส้นรอบวง, C) น้อยกว่า $1/10$ ของความยาวคลื่น ($C < \lambda/10$) ส่วนสายอากาศขนาดเชิงไฟฟ้านาคใหญ่มีความยาวของเส้นรอบวงเกือบเท่าความยาวคลื่นของคลื่นวิทยุ ($C \sim \lambda$) สายอากาศที่มีขนาดเชิงไฟฟ้านาคใหญ่ ส่วนใหญ่แล้วจะใช้ในกลุ่มของสายอากาศ (antay) เช่น สายอากาศแบบเกลียว (helical antenna) สายอากาศยา基–อุดะ (Yagi – Uda antenna) สายอากาศบ่วงส่วนมากนั้นจะใช้งานที่ความชั่งถี่ HF (3 MHz – 30 MHz), VHF (30 MHz – 300 MHz) และ UHF (300 MHz – 3000 MHz)

ตัวอย่างของสายอากาศแบบบ่วงวงกลมแสดงได้ดังรูปที่ 2.1 ตามเอกสารของผู้ผลิตแสดงไว้ด้านที่มาข้างล่างนี้ บ่วงตัวนี้ใช้งานที่ความถี่ 50 MHz – 220 MHz ตัวนำจะได้รับการตัดออกเป็นช่วงสั้นๆ และทำหน้าที่เป็นตัวป้อนของสายอากาศและต่อเข้ากับสายนำสัญญาณ



รูปที่ 2.1 ลักษณะทางกายภาพของสายอากาศบ่วง [8]

ที่มา : http://www.ecplaza.net/eparts/product/10000060_10000337/

loop-antenna-loop-antenna.html

2.1 บ่วงวงคลุมขนาดเล็ก (small circular loop)

พิจารณาสายอากาศบ่วงที่เส้นลวดมีขวนด้อมที่วางบนระนาบ xy มีจุดศูนย์กลางอยู่ที่ $z = 0$ ดังแสดงในรูปที่ 2.2 การแยกแยะกระแสที่อยู่บนเส้นลวดนี้มีค่าเป็น

$$I_\phi = I_0 \quad (2.1)$$

เมื่อ I_0 เป็นค่าคงที่ การแยกแยะกระแสตามสมการข้างบนนี้จะใช้ได้กับสายอากาศบ่วงที่มีเส้นรอบวงน้อยมากเท่านั้น

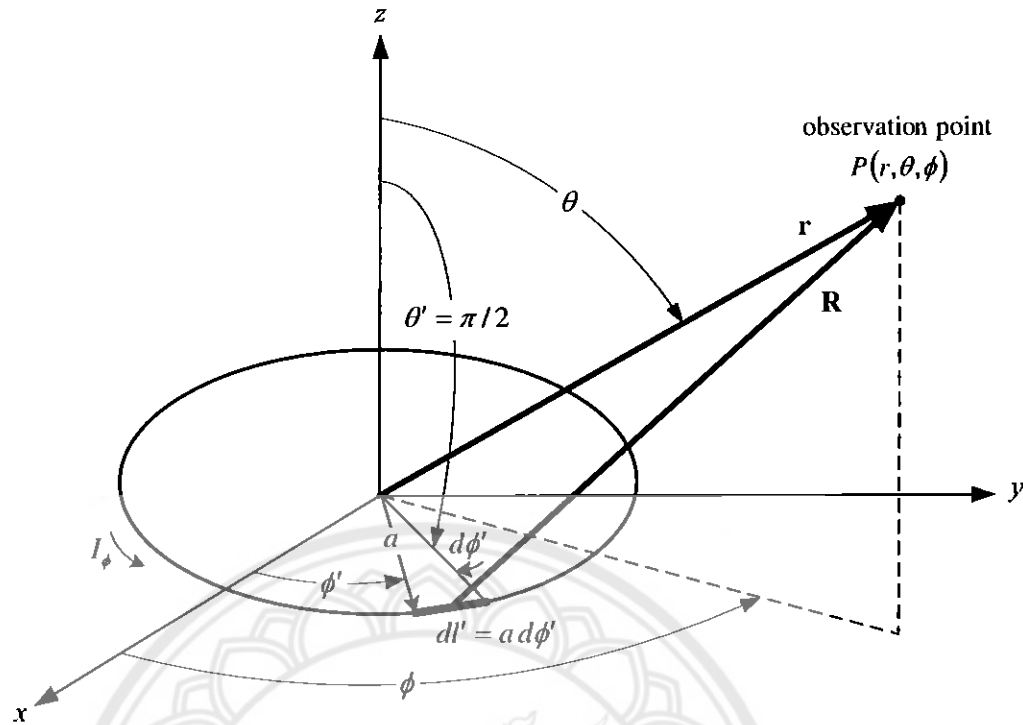
2.1.1 สนามการที่แผ่ออกไป (Radiated Fields)

สนามที่แผ่ออกไปของบ่วง สามารถหาได้โดยใช้ฟังก์ชันศักย์ (potential function) \mathbf{A} ตามสมการดังต่อไปนี้

$$\mathbf{A}(x, y, z) = \frac{\mu}{4\pi} \int_C \mathbf{I}_e(x', y', z') \frac{e^{-jkR}}{R} dl' \quad (2.2)$$

จากรูปที่ 2.2 R เป็นระยะจากจุดใดๆ บนบ่วงถึงจุดที่สั้งเกต โดยทั่วไปแล้วกระแสเชิงօกาศ $\mathbf{I}_e(x', y', z')$ จะเป็นไปได้ดังนี้

$$\mathbf{I}_e(x', y', z') = \hat{\mathbf{a}}_x I_x(x', y', z') + \hat{\mathbf{a}}_y I_y(x', y', z') + \hat{\mathbf{a}}_z I_z(x', y', z') \quad (2.3)$$



รูปที่ 2.2 เรขาคณิตของสามาถอากาศบ่ำว

เพื่อให้สอดคล้องกับโครงสร้าง องค์ประกอบของกระแสสำหรับปัญหานี้ จะได้รับการเขียนให้อ่าย ในระบบพิกัดทรงกรวยออก ดังนั้นจึงจำเป็นต้องแปลงกระแสจากในระบบพิกัดทรงกรวยออกไปเป็น ระบบพิกัดลากเสียก่อน โดยอาศัยความสัมพันธ์ต่อไปนี้

$$\begin{bmatrix} I_x \\ I_y \\ I_z \end{bmatrix} = \begin{bmatrix} \cos\phi' & -\sin\phi' & 0 \\ \sin\phi' & \cos\phi' & 0 \\ 0 & 0 & 1 \end{bmatrix} \begin{bmatrix} I_\rho \\ I_\phi \\ I_z \end{bmatrix} \quad (2.4)$$

เมื่อทำการกระจายเมทริกซ์แล้วจะเขียนได้ดังนี้

$$\left. \begin{aligned} I_x &= I_\rho \cos\phi' - I_\phi \sin\phi' \\ I_y &= I_\rho \sin\phi' + I_\phi \cos\phi' \\ I_z &= I_z \end{aligned} \right\} \quad (2.5)$$

โดยที่ความยาวปริมาณน้อยๆ dl' จะสอดคล้องตามโครงสร้างดังรูปที่ 2.2 สามารถเขียนในระบบ พิกัดทรงกรวยออกได้

$$dl' = a d\phi' \quad (2.6)$$

แทนสมการ (2.5) และ (2.6) ลงใน (2.2) จะได้

$$\mathbf{A}(x, y, z) = \frac{a\mu}{4\pi} \int_c [\hat{\mathbf{a}}_x (I_\rho \cos \phi' - I_\phi \sin \phi') + \hat{\mathbf{a}}_y (I_\rho \sin \phi' + I_\phi \cos \phi') + \hat{\mathbf{a}}_z I_z] \times \frac{e^{-jkR}}{R} d\phi' \quad (2.7)$$

กระจายสมการ (2.7) จะได้ศักย์เชิงเวกเตอร์ \mathbf{A} ในแต่ละองค์ประกอบเป็น

$$A_x = \frac{a\mu}{4\pi} \int_c (I_\rho \cos \phi' - I_\phi \sin \phi') \frac{e^{-jkR}}{R} d\phi' \quad (2.8)$$

$$A_y = \frac{a\mu}{4\pi} \int_c (I_\rho \sin \phi' + I_\phi \cos \phi') \frac{e^{-jkR}}{R} d\phi' \quad (2.9)$$

$$A_z = \frac{a\mu}{4\pi} \int_c I_z \frac{e^{-jkR}}{R} d\phi' \quad (2.10)$$

เนื่องจากการแผ่พลังงานในบ้านสนาณไกจะให้หน้าคลื่นที่มีลักษณะเป็นทรงกลม จึงจำเป็นต้องเปลี่ยนระบบพิกัดสำหรับการวิเคราะห์ จากระบบพิกัดลากแต่เดิมไปเป็นระบบพิกัดทรงกลมโดยอาศัยความสัมพันธ์ตามสมการเมตริกซ์ต่อไปนี้

$$\begin{bmatrix} A_r \\ A_\theta \\ A_\phi \end{bmatrix} = \begin{bmatrix} \sin \theta \cos \phi & \sin \theta \sin \phi & \cos \theta \\ \cos \theta \sin \phi & \cos \theta \sin \phi & -\sin \theta \\ -\sin \phi & \cos \phi & 0 \end{bmatrix} \begin{bmatrix} A_x \\ A_y \\ A_z \end{bmatrix} \quad (2.11)$$

แทนค่า ลงใน ทำให้ได้ ศักย์เชิงเวกเตอร์ \mathbf{A} ในระบบพิกัดทรงกลมนี้ค่าเป็น

$$A_r = \frac{a\mu}{4\pi} \int_c [I_\rho \sin \theta \cos(\phi - \phi') + I_\phi \sin \theta \sin(\phi - \phi') + I_z \cos \theta] \times \frac{e^{-jkR}}{R} d\phi' \quad (2.12)$$

$$A_\theta = \frac{a\mu}{4\pi} \int_c [I_\rho \cos \theta \cos(\phi - \phi') + I_\phi \cos \theta \sin(\phi - \phi') - I_z \sin \theta] \times \frac{e^{-jkR}}{R} d\phi' \quad (2.13)$$

$$A_\phi = \frac{a\mu}{4\pi} \int_c [-I_\rho \sin(\phi - \phi') + I_\phi \cos(\phi - \phi')] \frac{e^{-jkR}}{R} d\phi' \quad (2.14)$$

โครงสร้างตามรูปที่ 2.2 กระแตที่ไอลain สายอากาศบ่วงมีเฉพาะในองค์ประกอบของ ϕ เท่านั้น ขณะนั้น I_ρ และ I_z จึงมีค่าเป็น 0 ทำให้ได้

$$A_\phi = \frac{a\mu}{4\pi} \int_c I_\phi \cos(\phi - \phi') \times \frac{e^{-jkR}}{R} d\phi' \quad (2.15)$$

ขนาดของ R จากจุดใด ๆ บนบ่วงถึงจุดที่สังเกต สามารถเขียนได้ดังนี้

$$R = \sqrt{(x - x')^2 + (y - y')^2 + (z - z')^2} \quad (2.16)$$

เมื่อ พารามิเตอร์ตำแหน่งของจุดสังเกตในสมการ (2.16) จะสัมพันธ์กับพารามิเตอร์ในระบบพิกัดทรงกลมดังนี้

$$x = r \sin \theta \cos \phi \quad (2.17)$$

$$y = r \sin \theta \sin \phi \quad (2.18)$$

$$z = r \cos \theta \quad (2.19)$$

$$x^2 + y^2 + z^2 = r^2 \quad (2.20)$$

พารามิเตอร์ ตำแหน่งของแหล่งกำเนิด กระแตไฟฟ้า จะสัมพันธ์กับพารามิเตอร์ในระบบพิกัดทรงกลมดังนี้

$$x' = a \cos \phi' \quad (2.21)$$

$$y' = a \sin \phi' \quad (2.22)$$

$$z' = 0 \quad (2.23)$$

$$x'^2 + y'^2 + z'^2 = a^2 \quad (2.24)$$

โดย สมการ (2.16) สามารถลดรูปได้ดังนี้

$$R = \sqrt{(x^2 - 2xx' + x'^2) + (y^2 - 2yy' + y'^2) + (z^2 - 2zz')} \quad (2.25)$$

$$R = \sqrt{(x^2 + y^2 + z^2) + (-2xx' - 2yy') + (x'^2 + y'^2)} \quad (2.26)$$

$$R = \sqrt{r^2 + a^2 - 2ar(\sin \theta \cos \phi \cos \phi' + \sin \theta \sin \phi \sin \phi')} \quad (2.27)$$

จากสมการ (2.26) จะได้

$$R = \sqrt{r^2 + a^2 - 2ar \sin \theta \cos(\phi - \phi')} \quad (2.28)$$

เพื่อที่จะหาสนามในข่ายสนามไกล จะพิจารณาพจน์เพียงหนึ่งพจน์ก่อน ในที่นี้จะแทนค่า R จากสมการ (2.28) ลงในสมการ (2.15) ทำให้ได้

$$A_\phi = \frac{a\mu}{4\pi} \int_0^{2\pi} I_\phi \cos(\phi - \phi') \frac{e^{-jk\sqrt{r^2+a^2-2arsin\theta cos(\phi-\phi')}}}{\sqrt{r^2+a^2-2arsin\theta cos(\phi-\phi')}} d\phi' \quad (2.29)$$

กระแสเชิงวงจร I_ϕ ตามสมการ (2.1) ซึ่งเป็นค่าคงที่ จึงทำให้สนามที่แผ่ออกไปของบ่วงจะไม่เกี่ยวข้องกับมุนสังเกต ϕ ดังนั้นจึงสามารถเลือกมุนสังเกตเป็นค่าใดๆได้ แต่เพื่อให้ง่ายในการวิเคราะห์ควรเลือกให้มุนสังเกตเท่ากับศูนย์ ($\phi = 0$) ดังนั้นสมการ (2.29) สามารถลดรูปได้เป็น

$$A_\phi = \frac{a\mu I_0}{4\pi} \int_0^{2\pi} \cos \phi' \frac{e^{-jk\sqrt{r^2+a^2-2arsin\theta cos\phi'}}}{\sqrt{r^2+a^2-2arsin\theta cos\phi'}} d\phi' \quad (2.30)$$

2.1.2 การประมาณย่านสนามไกลโดยใช้อุปกรณ์แม่กลอริน

การอินทิเกรตเพื่อให้ได้ค่าตอบของ ตามสมการ (2.30) ทำได้ยากเป็นอย่างมาก ในที่นี้ สนามไฟฟ้าและสนามแม่เหล็กจะได้รับการพิจารณา จุดสังเกตในบริเวณที่มีระยะมากกว่ารัศมีของบ่วงมาก จึงทำให้สามารถประมาณค่าของค่าตอบได้โดยอาศัย อุปกรณ์แม่กลอรินดังนี้ กำหนดให้ฟังก์ชัน f มีค่าเป็น

$$f = \frac{e^{-jk\sqrt{r^2+a^2-2arsin\theta cos\phi'}}}{\sqrt{r^2+a^2-2arsin\theta cos\phi'}} \quad (2.31)$$

ฟังก์ชัน f เมื่อกระจายด้วยอุปกรณ์แม่กลอริน (Maclaurin's Series) สามารถเขียนได้ดังนี้

$$f = f(0) + f'(0)a + \frac{1}{2!} f''(0)a^2 + \dots + \frac{1}{(n-1)!} f^{(n-1)}(0)a^{n-1} + \dots \quad (2.32)$$

โดยที่ $f'(0) = \partial f / \partial a |_{a=0}$ และ $f''(0) = \partial^2 f / \partial a^2 |_{a=0}$

ในที่นี้จะพิจารณาพจน์ที่หนึ่ง และพจน์ที่สอง ของสมการ (2.32) เท่านั้น พังก์ชัน f ณ ตำแหน่ง $a = 0$ และ อนุพันธ์ของพังก์ชัน f ณ ตำแหน่ง $a = 0$ มีค่าเป็น

$$f(0) = \frac{e^{-jkr}}{r} \quad (2.33)$$

$$f'(0) = \left(\frac{jk}{r} + \frac{1}{r^2} \right) e^{-jkr} \sin \theta \cos \phi' \quad (2.34)$$

เมื่อใช้สองพจน์ตามสมการ (2.33) และ (2.34) ทำให้ได้ค่าประมาณของพังก์ชัน f มีค่าเป็น

$$f \approx \left[\frac{1}{r} + a \left(\frac{jk}{r} + \frac{1}{r^2} \right) \sin \theta \cos \phi' \right] e^{-jkr} \quad (2.35)$$

แทนค่าลงในสมการ (2.30) ทำให้ได้

$$A_\phi \approx \frac{a\mu I_0}{4\pi} \int_0^{2\pi} \cos \phi' \left[\frac{1}{r} + a \left(\frac{jk}{r} + \frac{1}{r^2} \right) \sin \theta \cos \phi' \right] e^{-jkr} d\phi' \quad (2.36)$$

โดยอาศัย $\int_0^{2\pi} \cos^2 \phi' d\phi' = \left[\frac{\phi'}{2} - \frac{1}{4} \sin 2\phi' \right] \Big|_{\phi'=0}^{2\pi}$ ทำให้ได้

$$A_\phi \approx \frac{a\mu I_0}{4} e^{-jkr} \left(\frac{jk}{r} + \frac{1}{r^2} \right) \sin \theta \quad (2.37)$$

ในทำนองเดียวกัน ศักย์เชิงเวกเตอร์ A ในองค์ประกอบ r และ θ สามารถเขียนได้ดังนี้

$$A_r \approx \frac{a\mu I_0}{4\pi} \sin \theta \int_0^{2\pi} \sin \phi' \left[\frac{1}{r} + a \left(\frac{jk}{r} + \frac{1}{r^2} \right) \sin \theta \cos \phi' \right] e^{-jkr} d\phi' \quad (2.38)$$

$$A_\theta \approx -\frac{a\mu I_0}{4\pi} \cos \theta \int_0^{2\pi} \sin \phi' \left[\frac{1}{r} + a \left(\frac{jk}{r} + \frac{1}{r^2} \right) \sin \theta \cos \phi' \right] e^{-jkr} d\phi' \quad (2.39)$$

โดยที่ $\int_0^{2\pi} \sin \phi' d\phi' = 0$ และ $\int_0^{2\pi} \sin \phi' \cos \phi' = \frac{1}{2} \int_0^{2\pi} \sin 2\phi' d\phi' = 0$

ซึ่งผลลัพธ์ของการอินทิเกรตสมการ (2.38) และสมการ (2.39) จะให้ผลลัพธ์เป็นศูนย์ จึงทำให้เหลือ A_ϕ เพียงองค์ประกอบเดียว และสามารถเขียนได้เป็น

$$A \approx \hat{\mathbf{a}}_\phi A_\phi = \hat{\mathbf{a}}_\phi \frac{a^2 \mu I_0}{4} e^{-jkr} \left[\frac{jk}{r} + \frac{1}{r^2} \right] \sin \theta \quad (2.40)$$

$$= \hat{\mathbf{a}}_\phi j \frac{k \mu a^2 I_0 \sin \theta}{4r} \left[1 + \frac{1}{jkr} \right] e^{-jkr} \quad (2.41)$$

แทนค่าสมการ (2.41) ลงใน $\mathbf{H}_A = \frac{1}{\mu} \nabla \times \mathbf{A}$ ทำให้ได้สนามแม่เหล็กในแต่ละองค์ประกอบดังนี้

$$H_r = j \frac{ka^2 I_0 \cos \theta}{2r^2} \left[1 + \frac{1}{jkr} \right] e^{-jkr} \quad (2.42)$$

$$H_\theta = - \frac{(ka)^2 I_0 \sin \theta}{4r^2} \left[1 + \frac{1}{jkr} - \frac{1}{(kr)^3} \right] e^{-jkr} \quad (2.43)$$

$$H_\phi = 0 \quad (2.44)$$

โดยใช้ $\mathbf{E}_A = -j\omega \mathbf{A} - j \frac{1}{\omega \mu} \nabla (\nabla \cdot \mathbf{A})$ หรือ $\nabla \times \mathbf{H}_A = \mathbf{J} + j\omega \mathbf{E}_A$

และ $\mathbf{J} = 0$ ทำให้ได้สนามไฟฟ้าในแต่ละองค์ประกอบเป็นดังนี้

$$E_r = E_\theta = 0 \quad (2.45)$$

$$E_\phi = \eta \frac{(ka)^2 I_0 \sin \theta}{4r} \left[1 + \frac{1}{jkr} \right] e^{-jkr} \quad (2.46)$$

ซึ่งการประมาณย่านสนามไกลโดยใช้อัตราส่วนแม่เหล็ก อัตราส่วนแม่เหล็ก และการประมาณในย่านสนามไกลโดยใช้รังสีขบวนได้ผลลัพธ์ที่เหมือนกัน

2.1.3 ปัจจุบันขนาดเล็กและໄคโลพลแม่เหล็กขนาดเสี้ยนมาก (Small Loop and Infinitesimal Magnetic Dipole)

สนามไฟฟ้าและสนามแม่เหล็กของໄคโลพลขนาดเล็กมาก สามารถหาได้ดังสมการต่อไปนี้

$$H_r = H_\theta = E_\phi = 0 \quad (2.47)$$

$$H_\phi = j \frac{k I_0 l \sin \theta}{4\pi r} \left[1 + \frac{1}{jkr} \right] e^{-jkr} \quad (2.48)$$

$$E_r = \eta \frac{I_0 l \cos \theta}{2\pi r^2} \left[1 + \frac{1}{jkr} \right] e^{-jkr} \quad (2.49)$$

$$E_\theta = j \eta \frac{k I_0 l \sin \theta}{4\pi r} \left[1 + \frac{1}{jkr} - \frac{1}{(kr)^2} \right] e^{-jkr} \quad (2.50)$$

ถ้าใช้หลักการของทฤษฎีบทคู่แฝง (duality theorem) กับสมการ (2.47) - (2.50) จะทำให้ได้สanan ไฟฟ้าและสanan แม่เหล็กของบ่วงขนาดเล็ก ดังนี้

$$E_r = E_\theta = H_\phi = 0 \quad (2.51)$$

$$E_\phi = -j \frac{kI_m l \sin \theta}{4\pi r} \left[1 + \frac{1}{jkr} \right] e^{-jkr} \quad (2.52)$$

$$H_r = \frac{I_m l \cos \theta}{2\pi \eta r^2} \left[1 + \frac{1}{jkr} \right] e^{-jkr} \quad (2.53)$$

$$H_\theta = j \frac{kI_m l \sin \theta}{4\pi \eta r} \left[1 + \frac{1}{jkr} - \frac{1}{(kr)^2} \right] e^{-jkr} \quad (2.54)$$

เมื่อเปรียบเทียบสมการ (2.51) - (2.54) กับสมการ (2.47) - (2.50) จะพบว่า โน้มเนนต์ของ ไดโอดแม่เหล็กขนาดเล็กมาก ($I_m l$) จะเท่ากับบ่วงขนาดเล็กที่มีรัศมี (a) และมีกระแสไฟฟ้า I_0 คงที่ ดังนั้นกระแสเชิงอว拉斯 I_m จะสามารถหาได้ดังนี้

$$I_m l = j S \omega \mu I_0 \quad (2.55)$$

เมื่อ $S = \pi a^2$ (พื้นที่ของบ่วง) ดังนั้นการวิเคราะห์บ่วงขนาดเล็ก จึงสามารถใช้ไดโอดแม่เหล็ก เชิงเส้นขนาดเล็กที่มีกระแสคงที่วิเคราะห์แทนได้

2.1.4 ความหนาแน่นพลังงานและความต้านทานการแผ่พลังงาน (Power Density and Radiation Resistance)

ความหนาแน่นพลังงานจะเกิดขึ้นในบริเวณพื้นที่ร่องตัวสายอากาศ สำหรับในบริเวณสanan ใกล้ ($kr \ll 1$) จะมีความหนาแน่นพลังงานทั้งในส่วนที่เป็นพลังงานจริงและส่วนรีแอคทีฟ (reactive) ซึ่งในย่านสanan ใกล้นั้นค่าความหนาแน่นพลังงานในส่วนรีแอคทีฟจะมีค่ามากกว่าส่วนจริง ความหนาแน่นพลังงานเชิงซ้อนสามารถหาจาก

$$\mathbf{W} = \frac{1}{2} (\mathbf{E} \times \mathbf{H}^*) = \frac{1}{2} [(\hat{\mathbf{a}}_\phi E_\phi) \times (\hat{\mathbf{a}}_r H_r^* + \hat{\mathbf{a}}_\theta H_\theta^*)] \quad (2.56)$$

$$= \frac{1}{2} (-\hat{\mathbf{a}}_\phi E_\phi) \times (\hat{\mathbf{a}}_r H_r^* + \hat{\mathbf{a}}_\theta H_\theta^*) \quad (2.57)$$

โดยที่ \mathbf{E} และ \mathbf{H} คือสanan ไฟฟ้าและสanan แม่เหล็กบนสายอากาศ ตามลำดับ

* คือ สังยุคเชิงซ้อน (complex conjugate)

เมื่อแทน สนามไฟฟ้าตามสมการ (2.52) และสนามแม่เหล็กตาม (2.53) และ (2.54) ลงใน สมการ (2.57) จากนั้นพิจารณาเฉพาะองค์ประกอบ r จะได้ความหนาแน่นพลังงานในองค์ประกอบนี้มีค่า เป็น

$$W_r = \eta \frac{(ka)^4}{32} |I_0|^2 \frac{\sin^2 \theta}{r^2} \left[1 + j \frac{1}{(kr)^3} \right] \quad (2.58)$$

พลังงานเชิงซ้อน (P_r) สามารถหาได้จากการอินทิเกรตความหนาแน่นพลังงาน (2.58) ทั่วพื้นผิว ปิด บังพลให้ได้

$$P_r = \iint_S W_r \cdot d\mathbf{s} = \eta \frac{(ka)^4}{32} |I_0|^2 \int_0^{2\pi} \int_0^\pi \left[1 + j \frac{1}{(kr)^3} \right] \sin^3 \theta \, d\theta \, d\phi \quad (2.59)$$

ซึ่งเมื่อนำมาลดรูปจะได้

$$P_r = \eta \left(\frac{\pi}{12} \right) (ka)^4 |I_0|^2 \left[1 + j \frac{1}{(kr)^3} \right] \quad (2.60)$$

โดยจะได้พลังงานส่วนที่เป็นจริงเท่ากับ

$$P_{rad} = \operatorname{Re}\{P_r\} = \eta \left(\frac{\pi}{12} \right) (ka)^4 |I_0|^2 \quad (2.61)$$

เมื่อ Re คือ ส่วนจริงของจำนวนเชิงซ้อน

ความต้านทานการเผยแพร่พลังงานของบ่วงจะมีความสัมพันธ์กับ P_{rad} ตามสมการต่อไปนี้

$$R_r = \frac{2 P_{rad}}{|I_0|^2} \quad (2.62)$$

แทนสมการ (2.61) ลงใน (2.62) ทำให้ได้

$$R_r = \eta \left(\frac{\pi}{6} \right) (k^2 a^2)^2 = \eta \frac{2\pi}{3} \left(\frac{kS}{\lambda} \right)^2 = 20\pi^2 \left(\frac{C}{\lambda} \right)^4 \simeq 31,171 \left(\frac{S^2}{\lambda^4} \right) \quad (2.63)$$

โดยที่ $S = \pi a^2$ คือ พื้นที่ของบัว และ $C = 2\pi a$ คือ เส้นรอบรูปของบัว

ความต้านทานการแผ่พลังงานที่หาได้โดยสมการ (2.63) จะใช้ได้กับสายอากาศบัวที่มีจำนวนวนรอบ 1 รอบเท่านั้น แต่ถ้าสายอากาศบัวที่มีจำนวน N รอบ ความต้านทานการแผ่พลังงานจะเท่ากับสายอากาศบัวที่มีจำนวนวนรอบ 1 รอบ คูณกับ N^2 ซึ่งจะเป็นสมการได้ดังนี้

$$R_r = \eta \frac{2\pi}{3} \left(\frac{kS}{\lambda} \right)^2 N^2 = 20\pi^2 \left(\frac{C}{\lambda} \right)^4 N^2 \approx 31,171 N^2 \left(\frac{S^2}{\lambda^4} \right) \quad (2.64)$$

2.1.5 ย่านสนามใกล้ ($kr \ll 1$) (Near-Field Region)

สำหรับการประมาณในย่านสนามใกล้จะสามารถหาค่าได้จากสมการ (2.42) – (2.46) ซึ่งจากสมการดังกล่าวจะเห็นได้ว่า เมื่อ $kr \ll 1$ จะส่งผลให้พจน์ $1/kr$ และ $1/(kr)^2$ ที่อยู่ในวงเล็บของแต่ละสมการมีค่าสูงมาก ดังนั้นสนามแม่เหล็กและสนามไฟฟ้า สามารถเขียนใหม่ได้ดังนี้

$$\left. \begin{aligned} H_r &\approx \frac{a^2 I_0 e^{-jkr}}{2r^3} \cos \theta \\ H_\theta &\approx \frac{a^2 I_0 e^{-jkr}}{4r^3} \sin \theta \\ H_\phi &\approx E_r = E_\theta = 0 \end{aligned} \right\} kr \ll 1 \quad (2.65)$$

$$H_\phi \approx -j \frac{a^2 I_0 e^{-jkr}}{4r^2} \sin \theta \quad (2.66)$$

$$E_\phi \approx -j \frac{a^2 I_0 e^{-jkr}}{4r^2} \sin \theta \quad (2.67)$$

$$E_r \approx E_\theta = 0 \quad (2.68)$$

2.1.6 สนามไกล ($kr \gg 1$) (Far-Field Region)

การวิเคราะห์ในย่านสนามไกลที่ $kr \gg 1$ จะพบว่า พจน์ $1/kr$ และ $1/(kr)^2$ มีความสำคัญน้อย ทำให้สนามแม่เหล็กในองค์ประกอบ r หรือ H_r จะเป็นสัดส่วนที่ผกผันกับ r^2 ขณะที่ H_θ จะเป็นสัดส่วนผกผันกับ r ในที่นี่ $kr \gg 1$ จะนั้นองค์ประกอบ H_r จะมีค่าน้อยกว่ามากเมื่อเทียบกับ H_θ จึงสามารถสมนติให้องค์ประกอบ H_r ค่าเท่ากับศูนย์ ดังนั้นสมการสนามไกลนี้ค่าเป็น

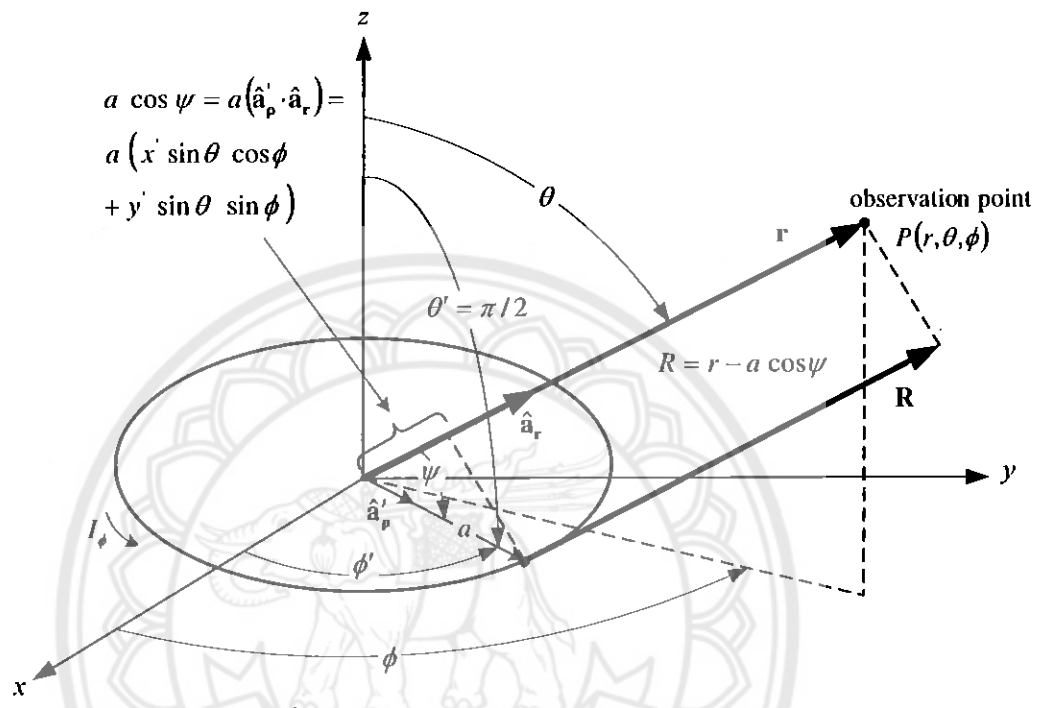
$$H_\theta \approx -\frac{k^2 a^2 I_0 e^{-jkr}}{4r} \sin \theta = -\frac{\pi S I_0 e^{-jkr}}{\lambda^2 r} \sin \theta \quad (2.69)$$

$$E_\phi \approx \eta \frac{k^2 a^2 I_0 e^{-jkr}}{4r} \sin \theta = \eta \frac{\pi S I_0 e^{-jkr}}{\lambda^2 r} \sin \theta \quad (2.70)$$

$$H_r \approx H_\phi = E_r = E_\theta = 0 \quad (2.71)$$

เมื่อ $S = \pi a^2$ เป็นพื้นที่เรขาคณิตของบ่วง อัตราส่วน $-E_\phi / H_\theta$ สามารถเขียนได้ดังนี้

$$Z_\omega = -\frac{E_\phi}{H_\theta} \simeq \eta \quad (2.72)$$



2.1.7 ความเข้มการแผ่พลังงานและสภาพเจาะจงทิศทาง (Radiation Intensity and Directivity)

ความหนาแน่นพลังงานที่แผ่ออกไปเป็นปริมาณเวกเตอร์ที่สามารถหาได้จากความสัมพันธ์ระหว่างสนามไฟฟ้าและสนามแม่เหล็ก และพิจารณาส่วนจริงดังนี้

$$\mathbf{W}_{\text{rad}} = \frac{1}{2} \operatorname{Re} [\mathbf{E} \times \mathbf{H}^*] \quad (2.73)$$

แทนสมการ (2.58) ลงใน (2.73) ยังคงให้ได้

$$\mathbf{W}_{\text{rad}} = \eta \frac{(ka)^4}{32} |I_0|^2 \frac{\sin^2 \theta}{r^2} \quad (2.74)$$

ความเข้มการแผ่พลังงาน (U) จะเป็นพลังงานที่แผ่จากสายอากาศต่อหนึ่งหน่วยของมุนตัน ซึ่งจะมีความสัมพันธ์กับความหนาแน่นพลังงานที่แผ่ออกไป (W_{rad}) ตามสมการต่อไปนี้

$$U = \hat{\mathbf{a}}_r \cdot r^2 \mathbf{W}_{rad} = \frac{\eta}{2} \left(\frac{k^2 a^2}{4} \right)^2 |I_0|^2 \sin^2 \theta = \frac{r^2}{2\eta} |E_\phi(r, \theta, \phi)|^2 \quad (2.75)$$

โดยความเข้มการแผ่พลังงานจะมีค่าสูงสุด U_{max} อยู่ที่ $\theta = \pi/2$ ซึ่งเทียนได้เป็น

$$U_{max} = U|_{\theta=\pi/2} = \frac{\eta}{2} \left(\frac{k^2 a^2}{4} \right)^2 |I_0|^2 \quad (2.76)$$

สภาพเจาะจงทิศทางเป็นพารามิเตอร์ที่บ่งบอกความสามารถในการส่งหรือรับสัญญาณในทิศทางหนึ่งๆ ของสายอากาศ ค่านี้จะเป็นฟังก์ชันของทิศทางรอบตัวสายอากาศ สภาพเจาะจงทิศทางที่นิยมใช้กันมาก คือสภาพเจาะจงทิศทางที่มากที่สุด ซึ่งสามารถหาได้จาก

$$D_{max} = 4\pi \frac{U_{max}}{P_{rad}} = \frac{3}{2} \quad (2.77)$$

โดยที่ D_{max} กือ สภาพเจาะจงทิศทางสูงสุด

U_{max} กือ ความเข้มการแผ่พลังงานสูงสุด

P_{rad} กือ พลังงานที่แผ่ออกไป

และเมื่อทราบพารามิเตอร์ D_{max} แล้ว สามารถหาพื้นที่ส่วนติดในการรับคลื่น หรือพื้นที่ประสิทธิผลสูงสุดของปั่งได้ดังนี้

$$A_{em} = \left(\frac{\lambda^2}{4\pi} \right) D_0 = \frac{3\lambda^2}{8\pi} \quad (2.78)$$

2.2 ปั่งวงกลมที่มีกระแสคงที่ (Circular loop of constant current)

สายอากาศบ้วงวงกลมที่มีกระแสคงที่สามารถพิจารณาได้จากรูปที่ 2.2 โดยจะสัมมติให้กระแสมีค่าคงที่ตามสมการ (2.1) สามารถที่แผ่ออกไปสามารถวิเคราะห์ได้โดยใช้ฟังก์ชันศักย์เชิงเวกเตอร์ \mathbf{A} ตามสมการ (2.19) ร่วมกับการประมาณในย่านสนามใกล้ และแสดงรายละเอียดในภาคผนวก ก มีรายละเอียดดังนี้

2.2.1 การประมาณในย่านสนานไกล (Far-Field Approximation)

ในบริเวณย่านสนานไกล ระยะของ R ตามรูปที่ 2.2 สามารถหาได้โดย

$$R = \sqrt{r^2 + a^2 - 2ar \sin \theta \cos \phi} \quad (2.79)$$

เนื่องจาก a มีค่าห้องมากเมื่อเทียบกับระยะจุดสังเกต r สมการ (2.41) สามารถประมาณได้เป็น

$$R \approx \sqrt{r^2 - 2ar \sin \theta \cos \phi} \quad \text{for } r \gg a \quad (2.80)$$

ใช้การกระจายไปโนมีเบล (binomial expansion) กับสมการ (2.41ก) ทำให้ได้

$$R = r - z' \cos \theta + \frac{1}{r} \left(\frac{z'^2}{2} \sin^2 \theta \right) + \frac{1}{r^2} \left(\frac{z'^3}{2} \cos \theta \sin^2 \theta \right) + \dots \quad (2.81)$$

จากสมการ (2.80) สามารถจัดรูปแบบสมการใหม่ได้ดังนี้

$$R \approx r \sqrt{r - 2a \sin \theta \cos \phi} \quad (2.82)$$

$$R \approx r \sqrt{1 - \frac{2a}{r} \sin \theta \cos \phi} \quad (2.83)$$

ค่าของ R จะได้รับการนำไปใช้ในสมการ (2.81) ดังนี้

$$R \approx r \sqrt{1 - \frac{2a}{r} \sin \theta \cos \phi} = r - a \sin \theta \cos \phi = r - a \cos \psi_0, \quad \text{for phase terms} \quad (2.84)$$

$$R \approx r, \quad \text{for amplitude terms} \quad (2.85)$$

โดยที่

$$\cos \psi_0 = \hat{\mathbf{a}}_\rho \cdot \hat{\mathbf{a}}_r \Big|_{\phi=0} \quad (2.86)$$

$$= (\hat{\mathbf{a}}_x \cos \phi + \hat{\mathbf{a}}_y \sin \phi) \cdot (\hat{\mathbf{a}}_x \sin \theta \cos \phi + \hat{\mathbf{a}}_y \sin \theta \sin \phi + \hat{\mathbf{a}}_z \cos \theta) \Big|_{\phi=0} \quad (2.87)$$

$$= \sin \theta \cos \phi \quad (2.88)$$

2.2.2 สนามที่แผ่ออกไป (Radiated Fields)

จากความสัมพันธ์ระหว่าง R และ r ดังแสดงในรูปที่ 2.2 จะเห็นได้ว่า สนามที่แผ่ออกไปของบ่าวงจะไม่เกี่ยวข้องกับมุมสัมภากัด ϕ ดังนั้นจึงสามารถเลือกมุมสัมภากัดเป็นค่าใดๆ ก็ได้ แต่เพื่อให้ง่ายต่อการวิเคราะห์ควรเลือกใช้มุมสัมภากัดเท่ากับศูนย์ ($\phi=0$) ดังที่กำหนดโดยสมการ (2.86) ดังนั้นจาก การประมาณค่า R ตามสมการ (2.16) ทำให้สมการ (2.30) สามารถเขียนใหม่ได้ดังนี้

$$A_\phi \approx \frac{a\mu I_0 e^{-jkr}}{4\pi r} \int_0^{2\pi} \cos \phi' e^{+jkrs \sin \theta \cos \phi'} d\phi' \quad (2.89)$$

จากนั้นนำมาแยกออกได้เป็น 2 พจน์ ได้ดังนี้

$$A_\phi \approx \frac{a\mu I_0 e^{-jkr}}{4\pi r} \left[\int_0^\pi \cos \phi' e^{+jkrs \sin \theta \cos \phi'} d\phi' + \int_\pi^{2\pi} \cos \phi' e^{+jkrs \sin \theta \cos \phi'} d\phi' \right] \quad (2.90)$$

โดยที่พจน์ที่สองสามารถเปลี่ยนรูปแบบได้เป็น

$$\phi' = \phi'' + \pi \quad (2.91)$$

ดังนั้น สมการ (2.90) จึงเป็น ได้ดังนี้

$$A_\phi \approx \frac{a\mu I_0 e^{-jkr}}{4\pi r} \left[\int_0^\pi \cos \phi' e^{+jkrs \sin \theta \cos \phi'} d\phi' - \int_0^\pi \cos \phi'' e^{-jkrs \sin \theta \cos \phi''} d\phi'' \right] \quad (2.92)$$

อินทิเกรตสมการ (2.92) โดยใช้รูปแบบการอินทิเกรตดังนี้

$$\pi j^n J_n(z) = \int_0^\pi \cos(n\phi) e^{+jz \cos \phi} d\phi \quad (2.93)$$

จากสมการ (2.93) จะสามารถเขียนสมการ (2.92) ใหม่ได้ดังนี้

$$A_\phi \approx \frac{a\mu I_0 e^{-jkr}}{4\pi r} [\pi j J_1(ka \sin \theta) - \pi j J_1(-ka \sin \theta)] \quad (2.94)$$

โดยที่ พงก์ชั้นเบสเซคชนิดที่หนึ่งอันดับ n เขียนได้

$$J_n(z) = \sum_{m=0}^{\infty} \frac{(-1)^m (z/2)^{n+2m}}{m!(m+n)!} \quad (2.95)$$

$$J_n(-z) = (-1)^n J_n(z) \quad (2.96)$$

ถ้าแทน $n = 1$ ในสมการ (2.96) จะทำให้ได้

$$J_1(-z) = -J_1(z) \quad (2.97)$$

จากสมการ (2.97) สามารถเขียนสมการ (2.94) ใหม่ได้ดังนี้

$$A_\phi \cong j \frac{a \mu I_0 e^{-jkr}}{2r} J_1(ka \sin \theta) \quad (2.98)$$

เมื่อทราบศักย์เชิงเวกเตอร์ \mathbf{A} และ [ดังที่แสดงรายละเอียดในภาคผนวก ก] จะสามารถหา สนามไฟฟ้าและสนามแม่เหล็กในย่านสนามไกล ได้จาก

$$\mathbf{E}_A \cong -j\omega \mathbf{A}_r \quad (2.99)$$

$$\mathbf{H}_A \cong \frac{\hat{\mathbf{a}}_r}{\eta} \times \mathbf{E}_A = -j \frac{\omega}{\eta} \hat{\mathbf{a}}_r \times \mathbf{A}_r \quad (2.100)$$

ซึ่งสามารถเขียนแยกกองค์ประกอบของ \mathbf{E}_A และ \mathbf{H}_A ได้เป็น

$$E_r \cong 0 \quad (2.101)$$

$$E_\theta \cong -j\omega A_\theta \quad (2.102)$$

$$E_\phi \cong -j\omega A_\phi \quad (2.103)$$

$$H_r \cong 0 \quad (2.104)$$

$$H_\theta \cong +j \frac{\omega}{\eta} A_\phi = -\frac{E_\phi}{\eta} \quad (2.105)$$

$$H_\phi \cong -j \frac{\omega}{\eta} A_\theta = +\frac{E_\theta}{\eta} \quad (2.106)$$

จากสมการ (2.38) - (2.41) จะทราบว่าสักยี่ชิงเวกเตอร์ A ในองค์ประกอบ r และ θ ให้ผลลัพธ์เป็นศูนย์ จึงทำให้เหลือ A_ϕ เพียงองค์ประกอบเดียว ดังนั้นจากสมการ (2.98) การแผ่พลังงานของสนามไฟฟ้าและสนามแม่เหล็กในย่านสนามไกลจะมีเฉพาะองค์ประกอบ E_ϕ และ H_θ เท่านั้น ซึ่งสามารถเขียนได้ดังนี้

$$E_r \cong E_\theta = 0 \quad (2.107)$$

$$E_\phi \cong \frac{ak\eta I_0 e^{-jkr}}{2r} J_1 (ka \sin \theta) \quad (2.108)$$

$$H_r \cong H_\phi = 0 \quad (2.109)$$

$$H_\theta \cong -\frac{E_\phi}{\eta} = -\frac{ak I_0 e^{-jkr}}{2r} J_1 (ka \sin \theta) \quad (2.110)$$

2.2.3 พารามิเตอร์ของสายอากาศบ่วง (Parameter of loop antennas)

ความหนาแน่นพลังงานเฉลี่ยสามารถหาได้จากความสัมพันธ์ระหว่างสนามไฟฟ้าและสนามแม่เหล็กได้ดังนี้

$$W_{av} = \frac{1}{2} \operatorname{Re} [E \times H^*] = \frac{1}{2} \operatorname{Re} [\hat{a}_\phi E_\phi \times \hat{a}_\theta H_\theta^*] = \hat{a}_r \frac{1}{2\eta} |E_\phi|^2 \quad (2.111)$$

โดยที่ E และ H คือสนามไฟฟ้าและสนามแม่เหล็กบนสายอากาศ ตามลำดับ

* คือ สัญญาณซ้อน (complex conjugate)

เมื่อแทน สนามไฟฟ้าตามสมการ (2.108) ลงใน สมการ (2.111) ทำให้ได้ความหนาแน่นพลังงานเฉลี่ยเป็น ได้เป็น

$$W_{av} = \hat{a}_r W_r = \hat{a}_r \frac{(a\omega\mu)^2 |I_0|^2}{8\eta r^2} J_1^2(ka \sin \theta) \quad (2.112)$$

และสามารถหาความเข้มการแผ่พลังงานซึ่งมีความสัมพันธ์กับความหนาแน่นพลังงานได้ดังสมการต่อไปนี้

$$U = r^2 W_r = \frac{(a\omega\mu)^2 |I_0|^2}{8\eta} J_1^2(ka \sin \theta) \quad (2.113)$$

จากสมการ (2.112) เมื่อทราบค่าความหนาแน่นพลังงานแล้ว แบบรูปการแผ่พลังงาน (radiated power) สามารถเขียนเป็นสมการได้ดังนี้

$$P_{\text{rad}} = \iint_S \mathbf{W}_{\text{av}} \cdot d\mathbf{s} = \frac{\pi(a\omega\mu)^2 |I_0|^2}{4\eta} \int_0^\pi J_1^2(ka \sin \theta) \sin \theta d\theta \quad (2.114)$$

สำหรับพจน์ของการอินทิเกรตในสมการ (2.114) สามารถเขียนใหม่ได้ดังนี้

$$\int_0^\pi J_1^2(ka \sin \theta) \sin \theta d\theta = \frac{1}{ka} \int_0^{2ka} J_2(x) dx \quad (2.115)$$

ซึ่งการอินทิเกรตของสมการ (2.115) สามารถใช้วิธี Q method ได้ดังนี้

$$\int_0^\pi J_1^2(ka \sin \theta) \sin \theta d\theta = \frac{1}{ka} \int_0^{2ka} J_2(x) dx = 2Q_{11}^{(0)}(ka) \quad (2.116)$$

โดยที่

$$Q_{11}^{(0)}(ka) = \frac{1}{ka} \sum_{m=0}^{\infty} J_{2m+3}(2ka) \quad (2.117)$$

และ $J_m(x)$ เป็นฟังก์ชันเชลชนิดที่หนึ่งอันดับ m

แทนสมการ (2.60) และ (2.61x) ลงในสมการ (2.59) จะได้

$$P_{\text{rad}} = \frac{\pi(a\omega\mu)^2 |I_0|^2}{4\eta} \times \frac{1}{ka} \int_0^{2ka} J_2(x) dx \quad (2.118)$$

และ

$$P_{\text{rad}} = \frac{\pi(a\omega\mu)^2 |I_0|^2}{4\eta} Q_{11}^{(0)}(ka) \quad (2.119)$$

2.2.4 การประมาณค่าบ่วงขนาดใหญ่ (Large Loop Approximation)

บ่วงขนาดใหญ่ได้รับการกำหนดให้มีค่ารัศมีเป็น ($a \geq \lambda/2$) ซึ่งในกรณีนี้สมการ (2.115) จะประมาณค่าได้ดังนี้

$$\int_0^\pi J_1^2(ka \sin \theta) \sin \theta d\theta = \frac{1}{ka} \int_0^{2ka} J_2(x) dx \approx \frac{1}{ka} \quad (2.120)$$

ทำให้ได้พลังงานที่แผ่ออกไปมีค่าดังนี้

$$P_{\text{rad}} \approx \frac{\pi(a\omega\mu)^2 |I_0|^2}{4\eta(ka)} \quad (2.121)$$

ความเข้มสูงสุดของการแผ่พลังงานจะเกิดขึ้นเมื่อ $ka \sin \theta = 1.84$ ดังนั้น

$$U|_{\max} = \frac{(a\omega\mu)^2 |I_0|^2}{8\eta} J_1^2(ka \sin \theta)|_{ka \sin \theta = 1.84} = \frac{(a\omega\mu)^2 |I_0|^2}{8\eta} (0.582)^2 \quad (2.122)$$

ความต้านทานการแผ่พลังงานสามารถเปลี่ยนได้ดังนี้

$$R_r = \frac{2P_{\text{rad}}}{|I_0|^2} = \frac{2\pi(a\omega\mu)^2}{4\eta(ka)} = \eta \left(\frac{\pi}{2} \right) ka = 60\pi^2 (ka) = 60\pi^2 \left(\frac{C}{\lambda} \right) \quad (2.123)$$

และสภาพเฉพาะจังทิศทางจะมีค่าเป็น

$$D_{\max} = 4\pi \frac{U_{\max}}{P_{\text{rad}}} = 4\pi \frac{ka (0.582)^2}{2\pi} = 2ka (0.582)^2 = 0.677 \left(\frac{C}{\lambda} \right) \quad (2.124)$$

ค่าสูงสุดพื้นที่ประสิทธิผลมีค่าเป็น

$$A_{em} = \frac{\lambda^2}{4\pi} D0 = \frac{\lambda^2}{4\pi} \left[0.677 \left(\frac{C}{\lambda} \right) \right] = 5.39 \times 10^{-2} \lambda C \quad (2.125)$$

โดยที่ C (เส้นรอบวง) $= 2\pi a$

η คือ อินพิเดนซ์อินทรินซิก (intrinsic impedance) มีค่าเท่ากับ $\eta \approx 120\pi$

2.2.5 การประมาณค่าบ่วงขนาดกลาง (Intermediate Loop Approximation)

บ่วงขนาดกลางจะได้รับการกำหนดครั้นีของบ่วงมีค่าเป็น $\lambda/(6\pi) = 0.053\lambda \leq a < \lambda/2$ โดยสามารถหาได้จากสมการ (2.114) - (2.117) โดย P_{rad} หาได้จากสมการ (2.119) ทำให้ได้ค่าพารามิเตอร์ต่างๆ

$$P_{\text{rad}} = \frac{\pi(a\omega\mu)^2 |I_0|^2}{4\eta} Q_{11}^{(0)}(ka)$$

$$R_r = \frac{2P_{\text{rad}}}{|I_0|^2} = \eta\pi(ka)^2 Q_{11}^{(0)}(ka) \quad (2.126)$$

$$D_{\max} = \frac{4\pi U_{\max}}{P_{\text{rad}}} = \frac{F_m(ka)}{Q_{11}^{(0)}(ka)} \quad (2.127)$$

โดยที่

$$F_m(ka) = J_1^2(ka \sin \theta)|_{\max} = \begin{cases} J_1^2(1.840) = (0.582)^2 = 0.339 \\ \quad ka > 1.840 \quad (a > 0.293\lambda) \end{cases} \quad (2.128)$$

$$F_m(ka) = J_1^2(ka \sin \theta)|_{\max} = \begin{cases} J_1^2(ka) \\ \quad ka < 1.840 \quad (a < 0.293\lambda) \end{cases} \quad (2.129)$$

2.2.6 การประมาณค่าบ่วงขนาดเล็ก (Small Loop Approximation)

บ่วงขนาดเล็กจะได้รับการกำหนดให้รัศมีของบ่วงมีค่าเป็น ($a < \lambda/6\pi$) และสามารถหาได้จากสมการ (2.95) โดยใช้ฟังก์ชันแบบสเซล ดังสมการต่อไปนี้

$$J_1(ka \sin \theta) = \frac{1}{2}(ka \sin \theta) - \frac{1}{16}(ka \sin \theta)^3 + \dots \quad (2.130)$$

แต่เนื่องจากค่า ka ของบ่วงขนาดเล็กจะมีค่าน้อยกว่า $1/3$ ($ka < 1/3$) ดังนั้นค่าของฟังก์ชันแบบสเซลจะได้รับการประมาณดังนี้

$$J_1(ka \sin \theta) \approx \frac{ka \sin \theta}{2} \quad (2.131)$$

แทนค่าของฟังก์ชันแบบเซลจากสมการ (2.131) ลงในสมการ (2.107) - (2.110) ทำให้สามารถเขียน
สมการ (2.107) - (2.110) ใหม่ได้ดังนี้

$$E_r \cong E_\theta = 0 \quad (2.132)$$

$$E_\phi \cong \frac{a^2 \omega \mu k I_0 e^{-jkr}}{4r} \sin \theta = \eta \frac{a^2 k^2 I_0 e^{-jkr}}{4r} \sin \theta \quad (2.133)$$

$$H_r \cong H_\phi = 0 \quad (2.134)$$

$$H_\theta \cong -\frac{E_\phi}{\eta} = -\frac{a^2 \omega \mu k I_0 e^{-jkr}}{4\eta r} \sin \theta = -\frac{a^2 k^2 I_0 e^{-jkr}}{4r} \sin \theta \quad (2.135)$$

โดยสมการ (2.132) - (2.135) จะใช้กับบ่วงขนาดเล็กที่มี $a < \lambda/6\pi$



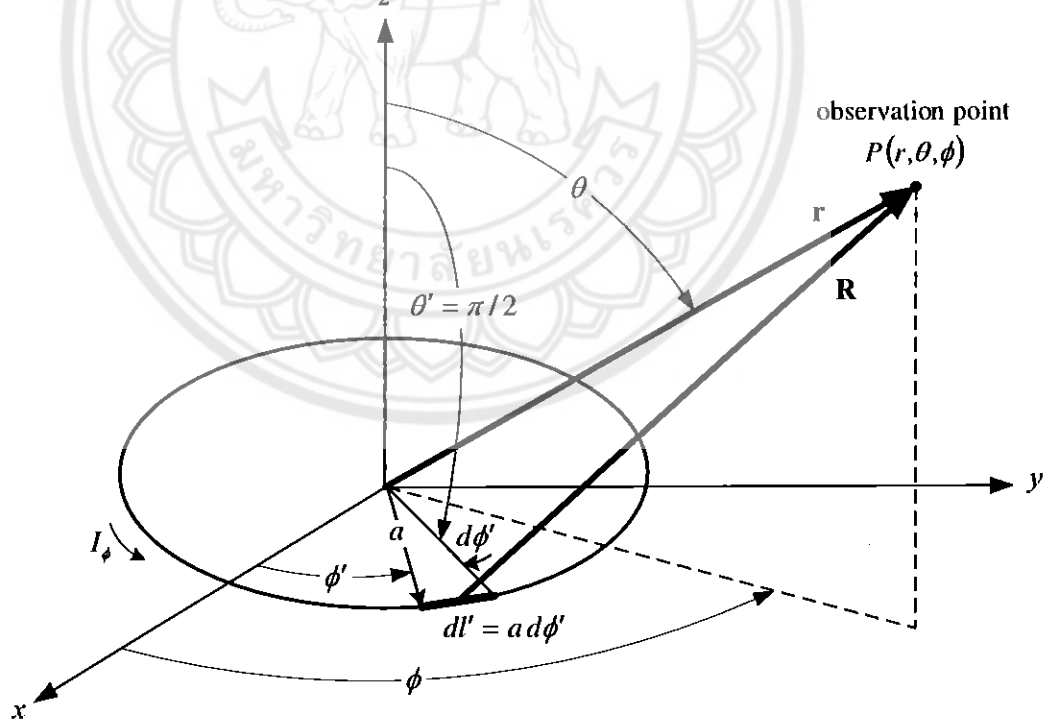
บทที่ 3

ผลการวิเคราะห์สายอากาศบ่วง

ในบทนี้จะกล่าวถึงผลการวิเคราะห์สายอากาศบ่วง โดยอาศัยหลักการและทฤษฎีในบทก่อนหน้านี้ คำนับแรกจะกล่าวถึงการประมาณในข่ายสนามไกล (far - field approximation) และอนุกรมแมคลอริน (Maclaurin's series) จากนั้นจะศึกษาผลของการเปลี่ยนแปลงทางกายภาพ ผลการวิเคราะห์จะแสดงในรูปของแบบสภาระเจาะจงทิศทาง (directivity pattern) จากนั้นจะกล่าวถึงความกว้างลำคลื่นครึ่งกำลัง (HPBW) และความต้านทานการแผ่พลังงาน (radiation resistance) ผลของความยาวรัศมีของสายอากาศบ่วง (radius) และความยาวเส้นรอบวงของสายอากาศบ่วง (loop circumference)

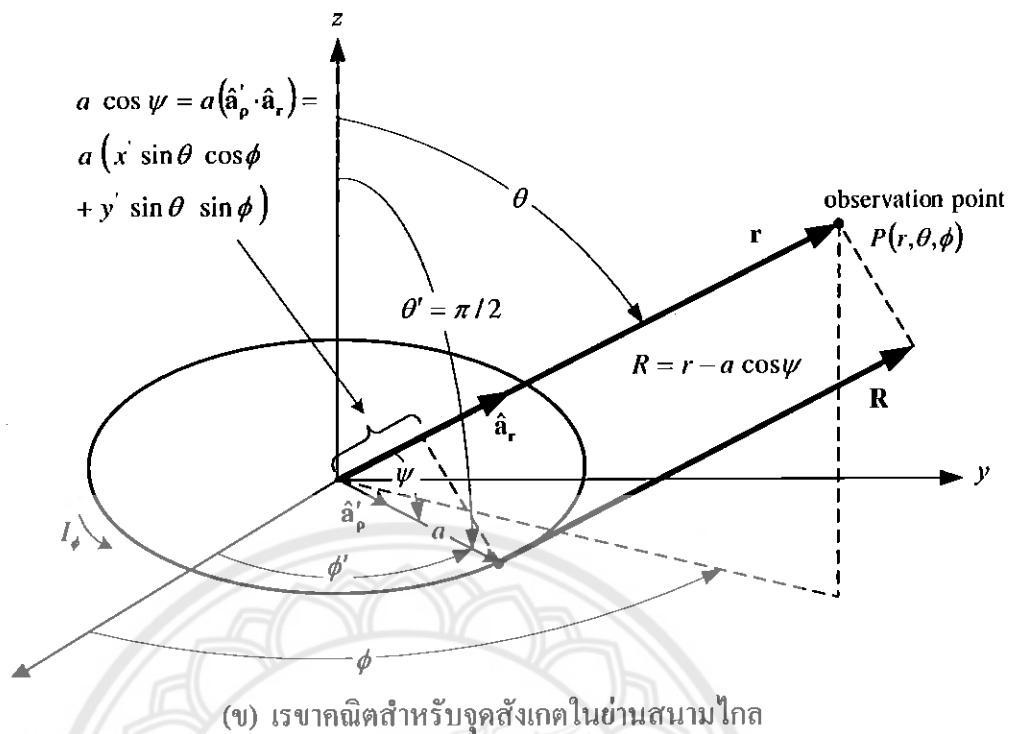
3.1 แบบรูปสภาระเจาะจงทิศทาง (Directivity pattern)

พิจารณาสายอากาศบ่วงที่วางบนระนาบ xy มีจุดศูนย์กลางอยู่ที่ $z=0$ ดังแสดงในรูปที่ 3.1



(ก) เรขาคณิตของสายอากาศบ่วง

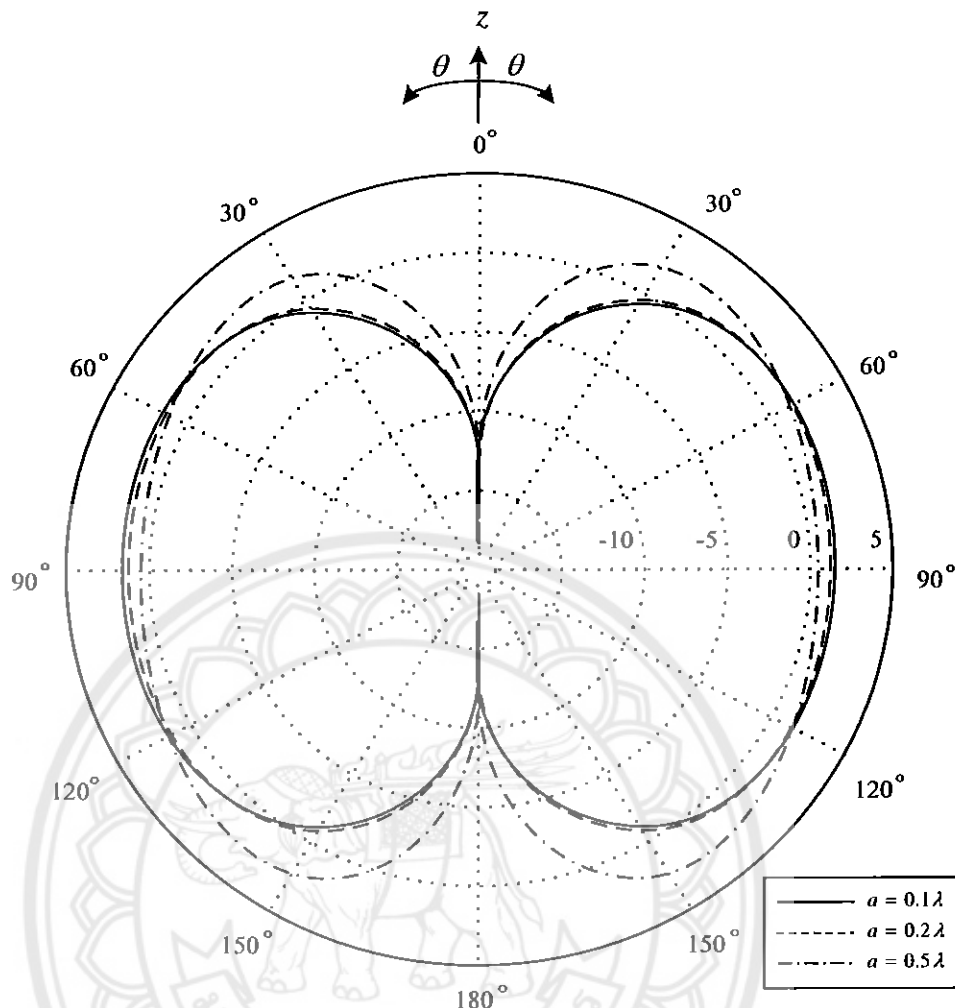
รูปที่ 3.1 เรขาคณิตสำหรับการวิเคราะห์สายอากาศบ่วง



รูปที่ 3.1 เรากนิตสำหรับการวิเคราะห์สายอากาศบ่วง (ต่อ)

สายอากาศบ่วงวางอยู่บนระนาบ xy มีจุดศูนย์กลางอยู่ที่ $z=0$ ที่จุดสังเกต P จะได้รับการบ่งโดย อาศัยระบบพิกัดทรงกลม (r, θ, ϕ) กระแสไฟฟ้าที่ไหลในบ่วงระบุโดยอาศัยระบบพิกัด ทรงกรวย (ρ', ϕ', z') โดยที่มีมุม ϕ' และ θ' วัดจากแกน x และ z ตามลำดับ โดยที่สายอากาศ บ่วงจะได้รับการสมมติว่า เส้นลวดมีขนาดพอประมาณและการแจกแจงกระแสที่อยู่บนเส้นลวดนี้มีค่า สมมติให้เป็นค่าคงที่

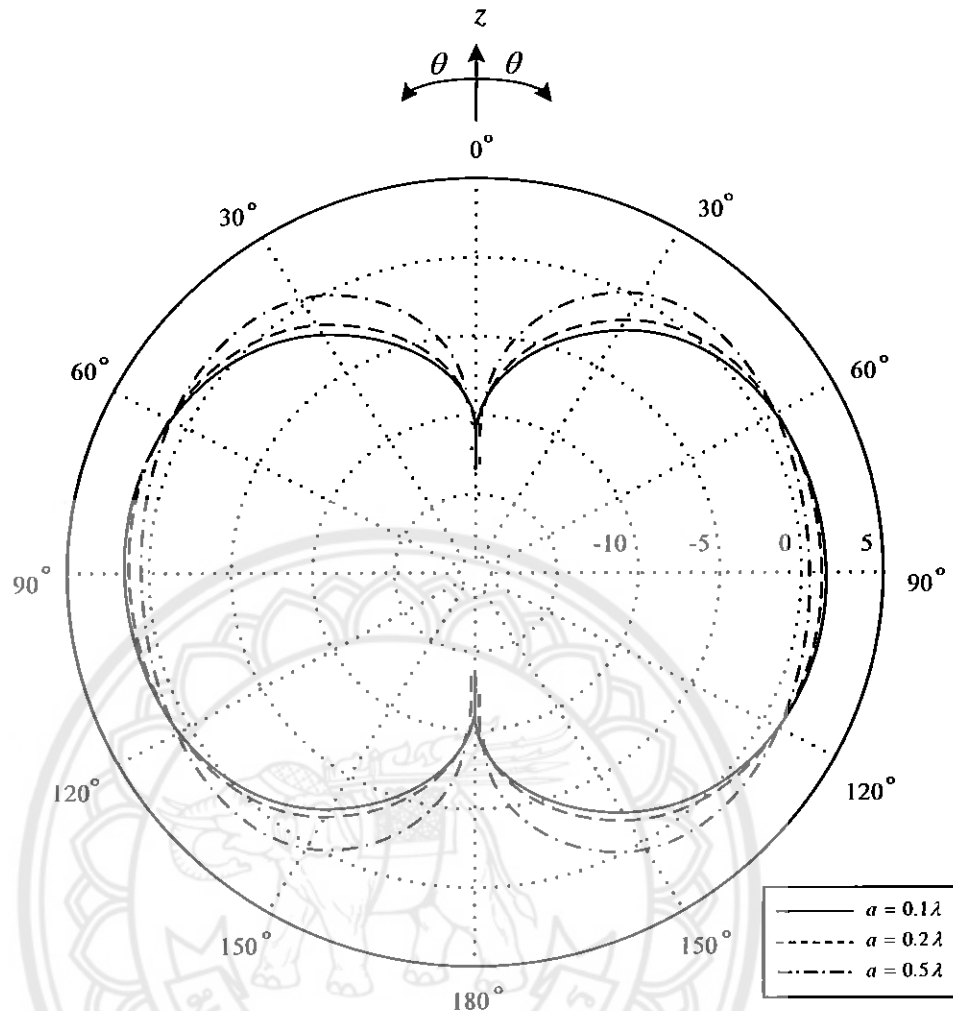
การวิเคราะห์สนามที่เพื่อออกໄປและความเข้มการแผ่พลังงาน ทำให้ได้สภาพเจาะจงทิศทาง ของบ่วงวงกลม พารามิเตอร์ดังกล่าวจะวิเคราะห์โดยอาศัยการประมาณในย่านสนามไกล (far-field approximation) โดยใช้สมการ (2.70) และ (2.75) และจากอนุกรมแมกโลริน (Maclaurin's series) โดยใช้สมการ (2.45) - (2.46) และ (2.75) ผลการคำนวณด้วยโปรแกรม MATLAB ที่แสดงไว้ใน ภาคผนวก ง จะได้แบบรูปสภาพเจาะจงทิศทางของสายอากาศบ่วง และสามารถนำมาดัดเป็นแบบ รูปสภาพเจาะจงทิศทาง (directive pattern) ได้ดังที่แสดงในรูปที่ 3.2 และ รูปที่ 3.3



รูปที่ 3.2 แบบรูปสภาพเจาะจงทิศทางของบ่วงจากการประมาณในข่ายสนามไกล

รูปที่ 3.2 แสดงแบบรูปสภาพเจาะจงทิศทางของบ่วง โดยอาศัยการประมาณในข่ายสนามไกล a มี การเปลี่ยนไปเป็น $a = 0.1\lambda$, $a = 0.2\lambda$ และ $a = 0.5\lambda$ เส้นที่บ่งแสดงสภาพเจาะจงทิศทาง สำหรับค่า $a = 0.1\lambda$ เส้นประสำหรับค่า $a = 0.2\lambda$ และเส้นประจุดสำหรับค่า $a = 0.5\lambda$ แบบรูป สภาพเจาะจงทิศทางของบ่วงแสดงการแผ่พลังงานในปริภูมิว่างรอบตัวสายอากาศในระนาบ ϕ เท่ากับค่าคงที่ โดยพลังงานที่แผ่ออกจะครอบคลุมบริเวณรอบตั้งจากบ่วง จะเห็นได้ว่า ทุกๆค่าของ a จะมีค่าต่ำสุดอยู่ที่ 0° และจะมีค่าพลังงานที่มากที่สุดอยู่ที่ 90° โดย $a = 0.1\lambda$ จะมีค่า D_{max} คือ 1.6582 dB, $a = 0.2\lambda$ จะมีค่า D_{max} คือ 1.5947 dB และ $a = 0.5\lambda$ จะมีค่า D_{max} อยู่ที่ 1.3064 dB

ดังนั้นจะเห็นได้ว่าเมื่อมีการเปลี่ยนค่า a เป็น $a = 0.1\lambda$, $a = 0.2\lambda$ และ $a = 0.5\lambda$ โดยให้ λ เป็นค่าคงที่ จะส่งผลให้การแผ่พลังงานในลักษณะของแบบรูปสภาพเจาะจงทิศทางของบ่วงมีค่าการแผ่พลังงานที่คล่องเมื่อให้ a มีค่าเพิ่มมากขึ้น



รูปที่ 3.3 แบบรูปสภาพเจาะจงทิศทางของบ่่วงจากอนุกรมแมคคลอริน

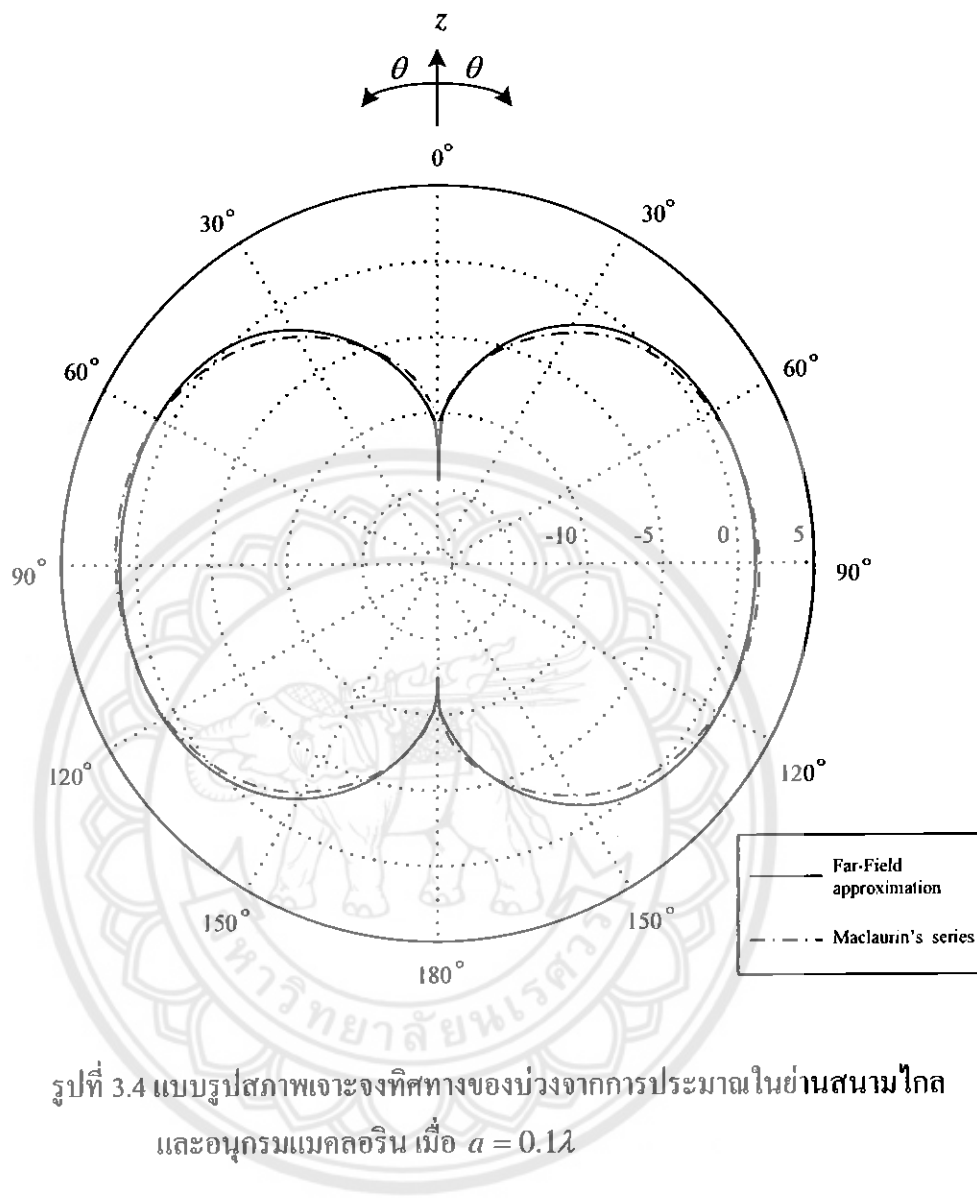
รูปที่ 3.3 แสดงแบบรูปสภาพเจาะจงทิศทางของบ่่วง โดยอาศัยอนุกรมแมคคลอริน a มีการเปลี่ยนไปเป็น $a = 0.1\lambda$, $a = 0.2\lambda$ และ $a = 0.5\lambda$ เส้นที่บ่งแสดงแบบรูปสภาพเจาะจงทิศทางสำหรับค่า $a = 0.1\lambda$ เส้นประสำหรับค่า $a = 0.2\lambda$ และเส้นประชุดสำหรับค่า $a = 0.5\lambda$ โดยให้ λ เป็นค่าคงที่ เช่นเดียวกันกับกรณีรูปที่ 3.2 จะเห็นได้ว่าเมื่อค่า a มีค่าเพิ่มมากขึ้นจะส่งผลให้ค่า D_{max} มีค่าลดลง โดยจะมีค่าพลังงานที่ต่ำที่สุดอยู่ที่ 0° และจะมีค่าพลังงานที่มากที่สุดอยู่ที่ 90° โดย $a = 0.1\lambda$ จะมีค่า D_{max} คือ 1.6759 dB $a = 0.2\lambda$ จะมีค่า D_{max} คือ 1.6131 dB และ $a = 0.5\lambda$ จะมีค่า D_{max} คือ 1.3820 dB

จากรูปที่ 3.2 และ รูปที่ 3.3 จะพบได้ว่า สายอากาศบ่วงจะมีการแผ่พลังงานที่ครอบคลุมระนาบทั้ง ลากกันบ่วง เมื่อเปลี่ยนค่า a พบว่า สภาพเจาะจงทิศทางสูงที่สุด สำหรับสายอากาศบ่วงทุกตัว เกิด ณ 90° ตำแหน่งเดียวกันทั้งหมด

จากการเปรียบเทียบวิเคราะห์ของทั้งสองแบบ คือ ในรูปแบบของการประมาณในย่าน สนามไกลและในรูปแบบของอนุกรมแมค Laurin ค่าสูงสุดของสภาพเจาะจงทิศทางของสายอากาศ บ่วงจะมีค่าที่ใกล้เคียงกัน จากข้อมูลข้างต้นนี้ สามารถนำมาแสดงได้ดังตารางข้างล่าง

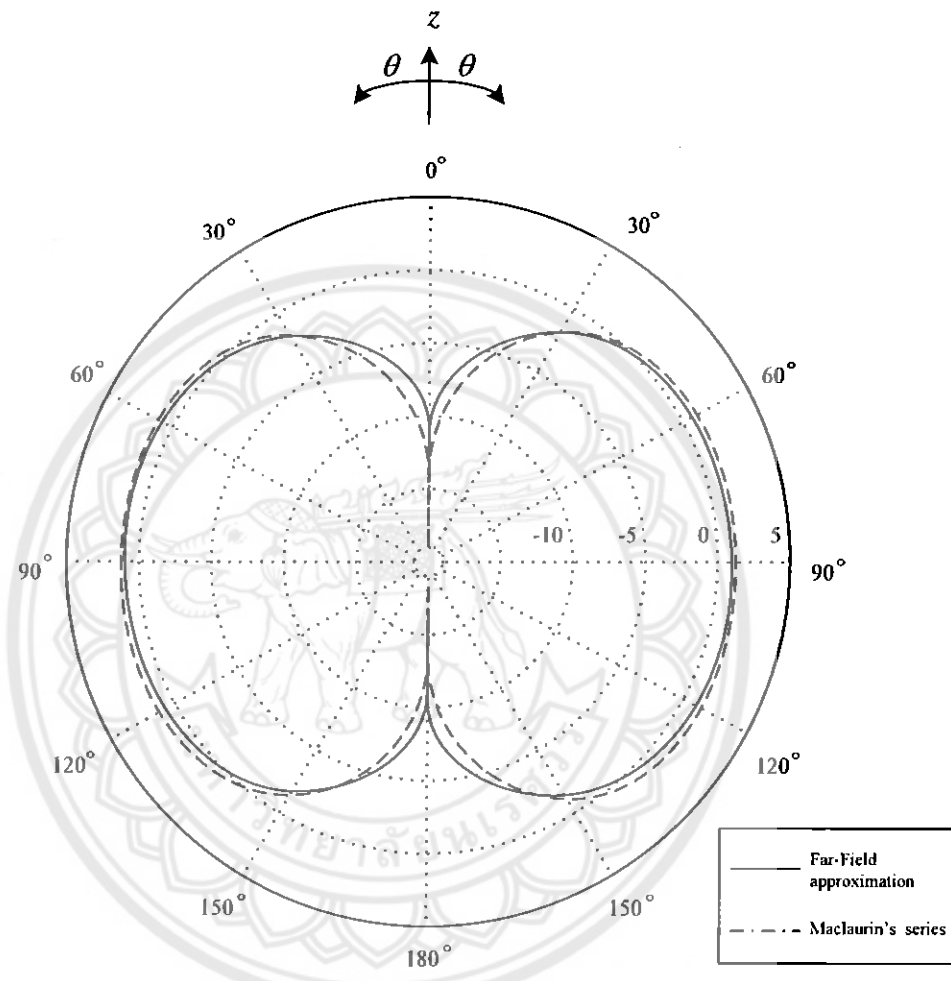
ตารางที่ 3.1 แสดงค่าสภาพเจาะจงทิศทางสำหรับสายอากาศบ่วงที่ค่าสูงสุด (D_{\max}) ของพลังงานที่ แผ่ออกไป ที่ค่า $a = 0.1\lambda$, $a = 0.2\lambda$ และ $a = 0.5\lambda$

a	D_{\max} (เกิดที่ $\theta = 90^\circ$)	
	การประมาณในย่านสนามไกล (far-field approximation)	อนุกรมแมค Laurin (Maclaurin series)
0.1λ	1.6582 dB	1.6759 dB
0.2λ	1.5947 dB	1.6131 dB
0.5λ	1.3064 dB	1.3820 dB

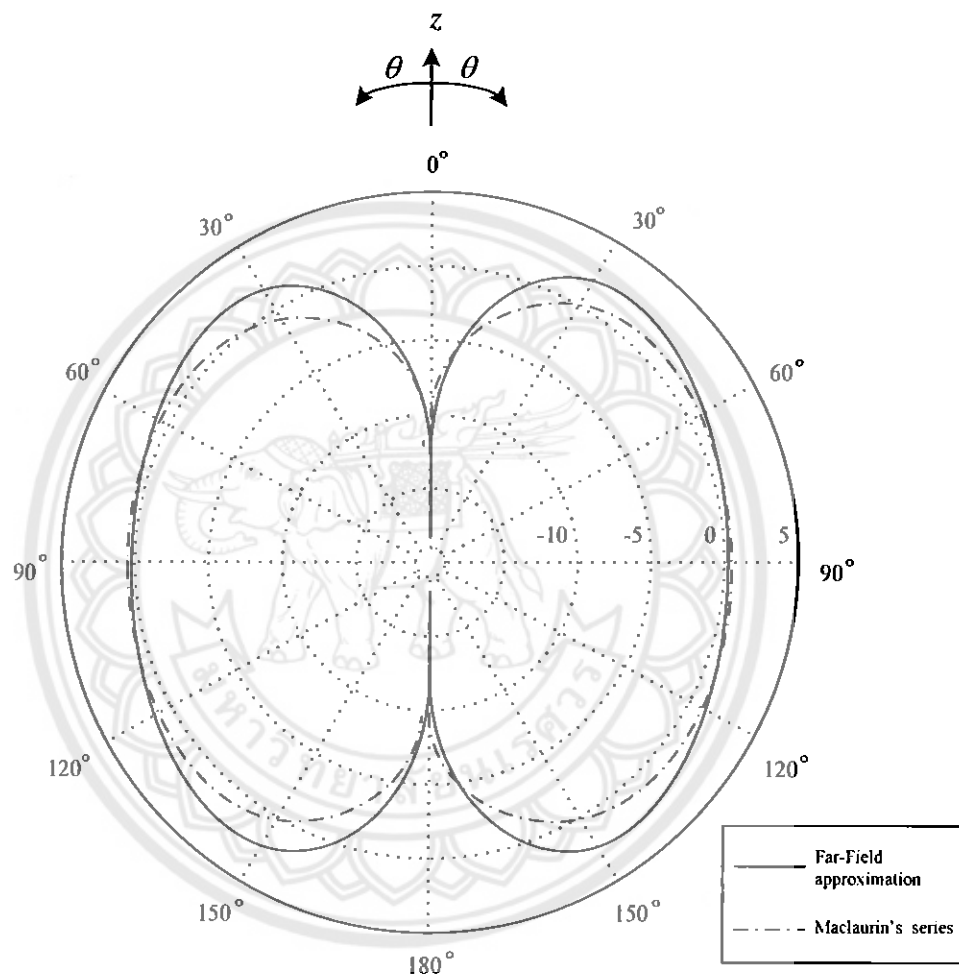


รูปที่ 3.4 แบบรูปสเปกตรัมเจาะจงทิศทางของบ่วงจากการประมาณในย่านสนามไกล
และอนุกรณ์แมคคลอริน เมื่อ $a = 0.1\lambda$

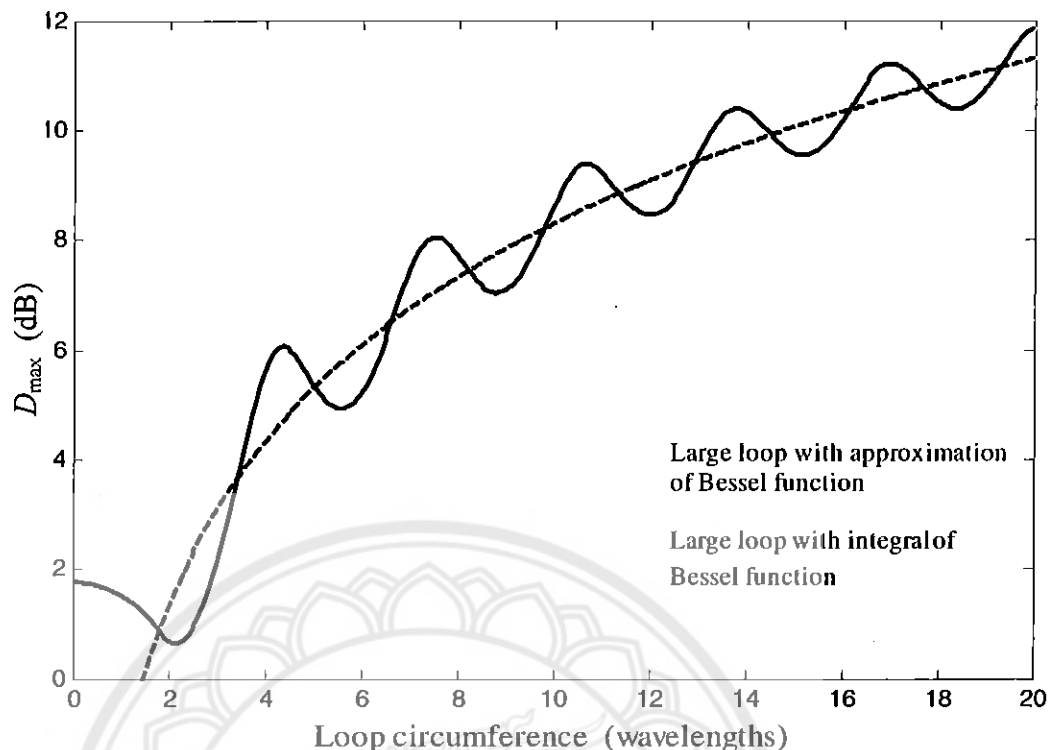
รูปที่ 3.4 ถึง 3.6 แสดงแบบรูปสเปกตรัมเจาะจงทิศทางของบ่วงจากการประมาณในย่านสนามไกลและอนุกรณ์แมคคลอรินของบ่วงที่ $a = 0.1\lambda$, $a = 0.2\lambda$ และ $a = 0.5\lambda$ ตามลำดับ โดยเด่นที่จะแสดงค่าที่ได้จากการประมาณในย่านสนามไกล และเด่นประชุจจะแสดงค่าที่ได้จากการวิเคราะห์โดยอาศัยอนุกรณ์แมคคลอริน จะเห็นได้ว่าการวิเคราะห์ทั้งสองวิธีนี้ให้ผลแบบรูปที่สองคล้องกัน ณ ตำแหน่ง $\theta=0^\circ$ และ $\theta=180^\circ$ จะให้สเปกตรัมเจาะจงทิศทางมีค่าเป็นต่อ 0 และจะให้ค่าที่มากที่สุดที่ $\theta=90^\circ$ สเปกตรัมเจาะจงทิศทางสูงสุดสำหรับสองวิธีที่ว่านี้จะให้ผลที่ใกล้เคียงกัน



รูปที่ 3.5 แบบรูปสภ้าพเจาะจงทิศทางของบ่วงจากการประมาณในย่านสนนามไกล
และอนุกรมแมคคลอริน เมื่อ $a = 0.2\lambda$



รูปที่ 3.6 แบบรูปสภ้าเพเจาะจงทิศทางของบ่วงจากการประมวลในย่านสนามไกล
และอนุกรณ์แมคคลอร์น เมื่อ $a = 0.5\lambda$



รูปที่ 3.7 สภาพเจาะจงทิศทางสูงสุดของสายอากาศบ่วงเทียบกับความยาวเส้นรอบวง

ผลของความยาวเส้นรอบวงต่อสภาพเจาะจงทิศทางสูงสุดแสดงได้ดังรูปที่ 3.7 ในรูปนี้แกนนอนแสดงเส้นรอบวงซึ่งได้รับการเปลี่ยนแปลงตั้งแต่ 0λ ถึง 20λ และแกนตั้งแสดงสภาพเจาะจงทิศทางสูงสุด (dB) สภาพเจาะจงทิศทางจะคำนวณจากการวิเคราะห์ในกรณีบ่วงใหญ่ เส้นประได้จากการวิเคราะห์โดยอาศัยการประมาณพังก์ชันเบนเซเซล ตามสมการที่ (2.124) และเส้นกราฟเส้นที่บีบวิเคราะห์จากการอินทิเกรตพังก์ชันเซเซล ตามสมการที่ (2-118), (2-122) และ (2-124) ผลที่ได้พบว่าสภาพเจาะจงทิศทางของสายอากาศบ่วงจะเพิ่มขึ้นเมื่อความยาวของเส้นรอบวงมีค่าเพิ่มขึ้น และเส้นกราฟที่แสดงเป็นเส้นทึบจะมีการแกว่งเป็นลูกกลิ้นรอบๆ เส้นประ ซึ่งเป็นผลจากการอินทิเกรตพังก์ชันเบนเซเซล J_2 และจะเพิ่มขึ้นอย่างรวดเร็วในช่วงแรก และจะเพิ่มขึ้นในอัตราที่ช้าลง เมื่อความยาวเส้นรอบวงของบ่วงเพิ่มมากขึ้น

3.2 ความกว้างลำคลื่นครึ่งกำลัง (Half Power Beamwidth)

ความกว้างลำคลื่นครึ่งกำลัง (HPBW) หมายถึง มุมระหว่างแนวสองแนวที่มีกำลังเท่ากับครึ่งหนึ่งของค่าสูงสุด ความกว้างลำคลื่นครึ่งกำลังจะพิจารณาจากสภาพเจาะจงทิศทางในระนาบอิลิเวชัน ที่ซึ่ง ϕ เท่ากับค่าคงที่ และเลือกเป็น $\phi = 90^\circ$ สภาพเจาะจงทิศทางในรูปที่ 3.2 ได้จากการประมาณในย่านสนามไกล และ รูปที่ 3.3 ได้จากการอนุกรมแมค Laurin ค่าความกว้างลำคลื่นครึ่งกำลัง (HPBW) จะหาจากการประมาณเชิงเส้น (linear approximation) กับจุดสองจุดของสภาพเจาะจงทิศทางบนระนาบที่ตั้งฉากกับบ่วง ผลการคำนวณโดยการใช้โปรแกรม MATLAB ที่แสดงไว้ในภาคผนวก ทำให้ได้ค่าความกว้างลำคลื่นครึ่งกำลัง แสดงได้ดังตารางที่ 3.2

ตารางที่ 3.2 ค่าความกว้างลำคลื่นครึ่งกำลัง (HPBW) เมื่อค่า $a = 0.1\lambda$, $a = 0.2\lambda$ และ $a = 0.5\lambda$

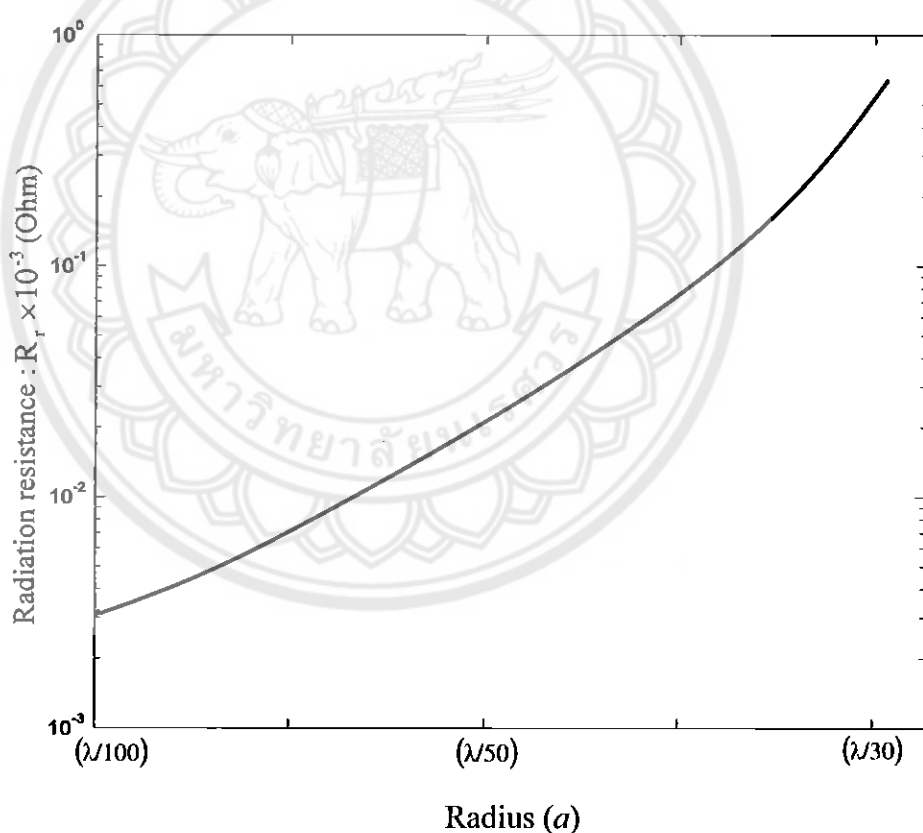
a	ความกว้างลำคลื่นครึ่งกำลัง (HPBW)	
	การประมาณในย่านสนามไกล (far-field approximation)	อนุกรมแมค Laurin (Maclaurin series)
0.1λ	174.0692°	174.0913°
0.2λ	174.3980°	174.6308°
0.5λ	175.7314°	175.8182°

ตารางที่ 3.2 แสดงให้เห็นว่า การประมาณในย่านสนามไกลและอนุกรมแมค Laurin ให้ค่าของความกว้างลำคลื่นครึ่งกำลัง (HPBW) ที่สอดคล้องกัน

3.3 ความต้านทานการแผ่พลังงาน (Radiation Resistance)

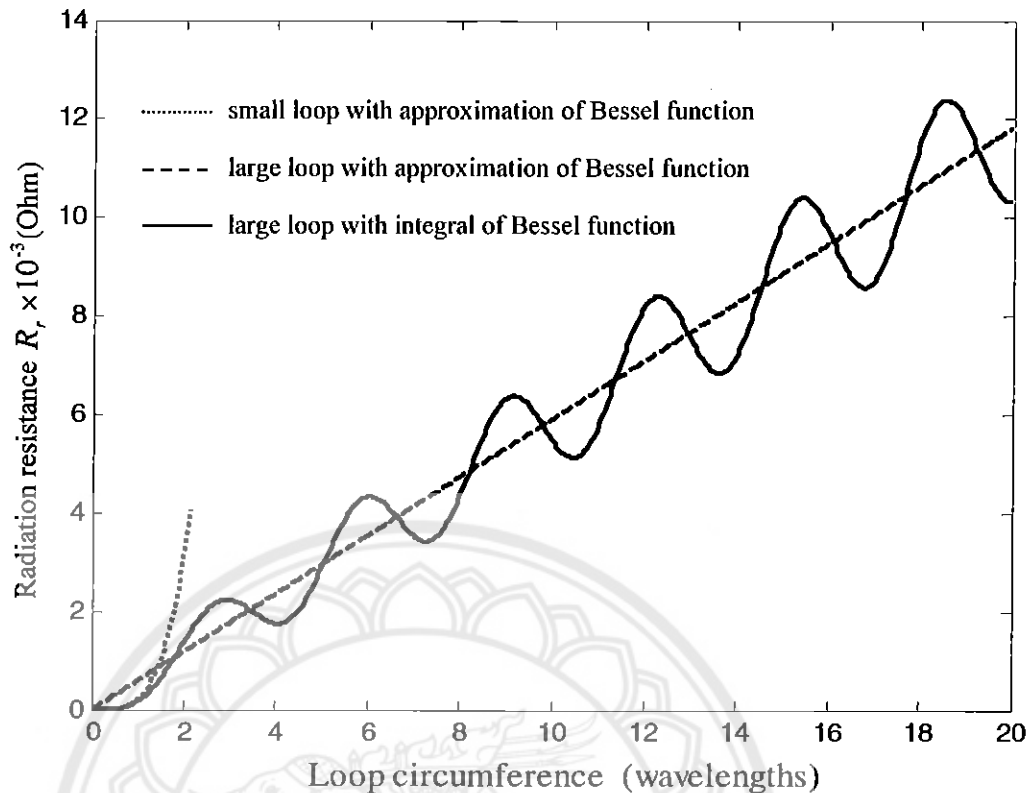
ความต้านทานการแผ่พลังงาน เป็นพารามิเตอร์ที่หมายถึง ความต้านทานสมมติซึ่งเมื่อแทนเข้าไปที่ตัวสายอากาศแล้วจะทำให้เกิดพลังงานมีค่าเท่ากับพลังงานที่แผ่ออกไปโดยสายอากาศตัวนั้น ความต้านทานการแผ่พลังงานในที่นี้จะพิจารณาได้เป็น 2 กรณี คือ สายอากาศบ่วงขนาดเล็ก และสายอากาศบ่วงขนาดใหญ่

รูปที่ 3.8 แสดงความสัมพันธ์ระหว่างความต้านทานการแผ่พลังงานกับรัศมี (a) ของสายอากาศบ่วงขนาดเล็กซึ่งมีความยาวรัศมีตั้งแต่ $\lambda/100$ ถึง $\lambda/30$ ความต้านทานการแผ่พลังงาน (R_r) จะได้รับการพิจารณาให้เป็นบ่วงเล็ก และมีค่าตามสมการ (2-126) และ (2-131) ผลการคำนวณโดยโปรแกรม MATLAB ที่แสดงไว้ในภาคผนวก สามารถนำมาวัดเป็นกราฟแสดงการเปรียบเทียบได้ดังรูปต่อไปนี้



รูปที่ 3.8 ความสัมพันธ์ระหว่างความต้านทานการแผ่พลังงานกับรัศมี (a)

รูป 3.8 แสดงให้เห็น ความต้านทานการแผ่พลังงานของสายอากาศบ่วง จะมีค่าเพิ่มขึ้นอย่างต่อเนื่อง เมื่อรัศมีเพิ่มขึ้น



รูปที่ 3.9 แสดงความสัมพันธ์ระหว่างความต้านทานการแผ่พลังงานเทียบกับความยาวเส้นรอบวง

รูปที่ 3.9 แสดงความสัมพันธ์ระหว่างความต้านทานการแผ่พลังงานเทียบกับความยาวเส้นรอบวง โดยการวัดกราฟแสดงความยาวเส้นรอบวงเริ่มจาก 0λ ถึง 20λ

ในรูปนี้สายอากาศบ่วงขนาดเล็กนี้เป็นสายอากาศที่มีความยาวเส้นรอบวงตั้งแต่ 0λ ถึง 2λ ความต้านทานการแผ่พลังงานจะคำนวณโดยอาศัยการประมาณของเบสเซลฟังก์ชัน ตามสมการ (2-126) และ (2-131) ผลการคำนวณแสดงเป็นเส้นจุด โดยจะเห็นได้ว่าความต้านทานการแผ่พลังงานจะเพิ่มขึ้นอย่างอย่างรวดเร็วตั้งแต่ความยาวเส้นรอบวงเท่ากับ 1λ

ความต้านทานการแผ่พลังงานของสายอากาศบ่วงขนาดใหญ่ จะคำนวณในช่วงตั้งแต่ 0λ ถึง 20λ โดยอาศัยจากการอินทิเกรตฟังก์ชันเบสเซล และการประมาณค่าฟังก์ชันเบสเซล ผลจาก การประมาณค่าฟังก์ชันเบสเซลลดลงซึ่งความยาวเส้นรอบวง ตามสมการ (2.118), (2.120), (2.121) และ (2.123) แสดงเป็นเส้นประใหญ่ ซึ่งจะเห็นได้ว่า ความต้านทานการแผ่พลังงานจะ เพิ่มขึ้นเป็นเชิงเส้นอย่างต่อเนื่องเมื่อความยาวเส้นรอบวงเพิ่มขึ้น และจากสมการตั้งต้นเดียวกันนี้ถ้า อินทิเกรตฟังก์ชันเบสเซล J_2 แทนการประมาณค่า จะพบว่า ความต้านทานการแผ่พลังงานจะ ได้ผลการวิเคราะห์เป็นเส้นที่บีบ ซึ่งความต้านทานการแผ่พลังงานจะแสดงการแปรผันเป็นลูกกลิ้น รอบๆ เส้นประใหญ่ และมีค่าเพิ่มขึ้นเมื่อความยาวเส้นรอบวงเพิ่มขึ้น

บทที่ 4

สรุปผลและข้อเสนอแนะ

4.1 สรุปผลการวิเคราะห์

โครงการนี้ได้ศึกษาเกี่ยวกับการวิเคราะห์สายอากาศบ่่วง โดยอาศัยหลักการการประมาณในย่านสนามไกลและอนุกรรมแม่คคลอริน ผลการวิเคราะห์จะแสดงในรูปของแบบรูปสภาพเจาะจงทิศทาง ความกว้างลำคลื่นครึ่งกำลัง ความต้านทานการแผ่พลังงาน พร้อมทั้งผลจากการศึกษาและความขาวเส้นรองวงของบ่่วง

การเปรียบเทียบระหว่างการวิเคราะห์ในการประมาณในย่านสนามไกล กับการวิเคราะห์ในอนุกรรมแม่คคลอริน พบว่าสายอากาศแบบบ่่วงให้แบบรูปสภาพเจาะจงทิศทางเป็นแบบกึ่งทิศทาง (omni-directivity) จากการวิเคราะห์ทั้งสองวิธีนี้ให้แบบรูปที่สอดคล้องกัน สภาพเจาะจงทิศทางมีค่า เป็น $0 \text{ ณ ตำแหน่ง } \theta=0^\circ \text{ และ } \theta=180^\circ$ และจะให้ค่าที่มากที่สุดที่ $\theta=90^\circ$ พบว่าสภาพเจาะจงทิศทางสูงสุด และค่าความกว้างลำคลื่นครึ่งกำลัง สำหรับสองวิธีนี้จะให้ผลที่ ใกล้เคียงกัน

การเพิ่มน้ำดองรัศมีและความขาวเส้นรองวงของสายอากาศบ่่วง โดยที่บ่่วงขนาดเดียวกัน มีความขาวเส้นรองวงที่ $(0 - 2\lambda)$ และบ่่วงขนาดใหญ่มีความขาวเส้นรองวง $(0 - 20\lambda)$ โดยอาศัยจากการอินทิเกรตฟังก์ชันเบสเซล และการประมาณค่าฟังก์ชันเบสเซล จะส่งผลให้ความต้านทานการแผ่พลังงานมีค่าเพิ่มขึ้น เมื่อรัศมีและความขาวเส้นรองวงของสายอากาศบ่่วงเพิ่มขึ้น

4.2 ข้อเสนอแนะ

การวิเคราะห์สายอากาศบ่่วงนี้ อาศัยหลักการของการประมาณในย่านสนามไกลและอนุกรรมแม่คคลอริน ซึ่งเป็นเพียงการวิเคราะห์ทางคณิตศาสตร์ โดยวิธีการทางทฤษฎีเท่านั้น ผลที่ได้ ก็จะเป็นไปตามทฤษฎีเท่านั้น แต่เนื่องจากในการใช้งานจริงอาจมีปัจจัยภายนอกเข้ามามาก่อน เช่น ภูมิอากาศ สภาพแวดล้อมและปัจจัยอื่นๆ ที่อาจทำให้ผลการวิเคราะห์นี้มีความคลาดเคลื่อนไปบ้าง หากต้องการที่จะให้ข้อมูลเกี่ยวกับแบบรูปการแผ่พลังงาน และสภาพเจาะจงทิศทาง ได้ผลลัพธ์ที่ ใกล้เคียงความจริงมากที่สุด ก็สามารถทำได้โดยการวัดและทดสอบกับอุปกรณ์จริง

เอกสารอ้างอิง

- [1] พนิจ เพิ่มพงศ์พันธ์. (2540). สมการเชิงอนุพันธ์. (พิมพ์ครั้งที่ 5). กรุงเทพมหานคร : ห้างหุ้นส่วนจำกัด นำอักษรการพิมพ์.
- [2] พิสูจน์ วนิชชานันท์และคณะ. (2551). MATLAB การประยุกต์ใช้งานทางวิศวกรรมไฟฟ้า. (พิมพ์ ครั้งที่ 3). กรุงเทพมหานคร : สำนักพิมพ์แห่งจุฬาลงกรณ์มหาวิทยาลัย.
- [3] ศิริขวัญ โพธารเจริญ. (2550). การวิเคราะห์ท่อนำคืนที่มีภาคตัดขวางเป็นรูปวงกลม. ปริญญา นิพนธ์วิศวกรรมศาสตรบัณฑิต สาขาวิชาวิศวกรรมไฟฟ้า ภาควิชาวิศวกรรมไฟฟ้าและ กองพิวเตอร์ มหาวิทยาลัยนเรศวร.
- [4] ภนึงนิตย์ สุวรรณแสง. (2553). การวิเคราะห์สายอากาศเส้นลวดเส้นผ่าแนย์กกลางจำกัด. ปริญญา นิพนธ์วิศวกรรมศาสตรบัณฑิต สาขาวิชาวิศวกรรมไฟฟ้า ภาควิชาวิศวกรรมไฟฟ้าและ กองพิวเตอร์ มหาวิทยาลัยนเรศวร.
- [5] Constantine A. Balanis. (2005). **Antenna Theory Analysis and Design.** (Third edition). United States of America : John Wiley & Sons.
- [6] Sherman K. Stein and Anthony Barcellos. (1992). **Calculus and Analytic Geometry.** (Fifth edition). United States of America : McGraw-Hill.
- [7] Warren L. Stutzman and Gary A. Thiele. (1998). **Antenna Theory Analysis and Design.** (Second edition). United States of America : John Wiley & Sons.
- [8] Soyea Corporation. (1996). **Loop Antenna.** ECPlaza Network Inc. Retrieved July 18, 2014, from http://www.ecplaza.net/eparts/product/10000060_10000337/%20loop-antenna-loop-antenna.html



การวิเคราะห์หาสนามไฟฟ้าและสนามแม่เหล็กของสายอากาศบ่วง จะไม่ได้วิเคราะห์หากต้องโดยตรงจากแหล่งกำเนิด แต่จะหาจากศักย์เชิงเวกเตอร์ \mathbf{A} ซึ่งเมื่อทราบ \mathbf{A} แล้ว งานนี้จึงนำมาหาสนามที่แผ่ออกไปข่องบ่วงเป็นลำดับลักษณะ

เมื่อแหล่งกำเนิดเป็นกระแสไฟฟ้าเชิงเส้น (\mathbf{I}_e) ศักย์เชิงเวกเตอร์ $\overline{\mathbf{A}}$ สามารถหาได้จาก

$$\mathbf{A}(x, y, z) = \frac{\mu}{4\pi} \int_c \mathbf{I}_e(x', y', z') \frac{e^{-jkR}}{R} dl' \quad (\text{ก.1})$$

จากรูปที่ 2.2 R เป็นระยะจากจุดใด ๆ บนบ่วงถึงจุดที่สังเกต โดยทั่วไปแล้วกระแสไฟฟ้า สามารถเขียนได้ดังนี้

$$\mathbf{I}_e(x', y', z') = \hat{\mathbf{a}}_x I_x(x', y', z') + \hat{\mathbf{a}}_y I_y(x', y', z') + \hat{\mathbf{a}}_z I_z(x', y', z') \quad (\text{ก.2})$$

dl' คือ พื้นที่มีขนาดเดียวกับน้ำเสียงบนสายอากาศบ่วง สามารถเขียนในระบบพิกัดทรงกระบอกได้เป็น

$$dl' = a d\phi' \quad (\text{ก.3})$$

แทนสมการ (ก.2) และ (ก.3) ลงใน (ก.1) จะได้

$$\mathbf{A}(x, y, z) = \frac{\mu}{4\pi} \int_c [\hat{\mathbf{a}}_x I_x(x', y', z') + \hat{\mathbf{a}}_y I_y(x', y', z') + \hat{\mathbf{a}}_z I_z(x', y', z')] \frac{e^{-jkR}}{R} a d\phi' \quad (\text{ก.4})$$

กระแสที่ปรากฏใน (ก.4) อยู่ในรูปพิกัด柱坐标 เพื่อให้สอดคล้องกับโครงสร้างสายอากาศบ่วงและเพื่อให้การวิเคราะห์ง่ายขึ้น จะแปลงกระแสจากระบบพิกัด柱坐标ไปเป็นระบบพิกัดทรงกระบอกโดยอาศัยสมการแมตริกซ์ดังต่อไปนี้

$$\begin{bmatrix} I_x \\ I_y \\ I_z \end{bmatrix} = \begin{bmatrix} \cos\phi' & -\sin\phi' & 0 \\ \sin\phi' & \cos\phi' & 0 \\ 0 & 0 & 1 \end{bmatrix} \begin{bmatrix} I_\rho \\ I_\phi \\ I_z \end{bmatrix} \quad (\text{ก.5})$$

เมื่อทำการกระจายแมตริกซ์ (ก.5) จะได้

$$\left. \begin{aligned} I_x &= I_\rho \cos \phi' - I_\phi \sin \phi' \\ I_y &= I_\rho \sin \phi' + I_\phi \cos \phi' \\ I_z &= I_z \end{aligned} \right\} \quad (ก.6)$$

แทนสมการ (ก.6) ลงใน (ก.4) จะได้สักย์เชิงเวกเตอร์ $\bar{\mathbf{A}}$ ที่เปลี่ยนในรูปกระแตตามโครงสร้างของสายอากาศบ่่วงเป็น

$$\mathbf{A}(x, y, z) = \frac{a\mu}{4\pi} \int_C [\hat{\mathbf{a}}_x (I_\rho \cos \phi' - I_\phi \sin \phi') + \hat{\mathbf{a}}_y (I_\rho \sin \phi' + I_\phi \cos \phi') + \hat{\mathbf{a}}_z I_z] \times \frac{e^{-jkR}}{R} d\phi' \quad (ก.7)$$

และ ได้สักย์เชิงเวกเตอร์ \mathbf{A} ในแต่ละองค์ประกอบ ดังนี้

$$A_x = \frac{a\mu}{4\pi} \int_C (I_\rho \cos \phi' - I_\phi \sin \phi') \frac{e^{-jkR}}{R} d\phi' \quad (ก.8)$$

$$A_y = \frac{a\mu}{4\pi} \int_C (I_\rho \sin \phi' + I_\phi \cos \phi') \frac{e^{-jkR}}{R} d\phi' \quad (ก.9)$$

$$A_z = \frac{a\mu}{4\pi} \int_C I_z \frac{e^{-jkR}}{R} d\phi' \quad (ก.10)$$

เนื่องจาก การแผ่พလังงานในข่ายสนาม ใกล้จะให้หน้าคลื่นที่มีลักษณะเป็นทรงกลม จึงจำเป็นต้องเปลี่ยนระบบพิกัดสำหรับการวิเคราะห์จากระบบพิกัดจากแต่เดิมไปเป็นระบบพิกัดทรงกลมโดยอาศัยสมการต่อไปนี้

$$\begin{bmatrix} A_r \\ A_\theta \\ A_\phi \end{bmatrix} = \begin{bmatrix} \sin \theta \cos \phi & \sin \theta \sin \phi & \cos \theta \\ \cos \theta \sin \phi & \cos \theta \sin \phi & -\sin \theta \\ -\sin \phi & \cos \phi & 0 \end{bmatrix} \begin{bmatrix} A_x \\ A_y \\ A_z \end{bmatrix} \quad (ก.11)$$

กระจาย สมการ (ก.11) ทำให้ได้

$$A_r = A_x \sin \theta \cos \phi + A_y \sin \theta \sin \phi + A_z \cos \theta \quad (ก.12)$$

$$A_\theta = A_x \cos \theta \cos \phi + A_y \cos \theta \sin \phi - A_z \sin \theta \quad (ก.13)$$

$$A_\phi = -A_x \sin \phi + A_y \cos \phi \quad (ก.14)$$

แทน (ก.8) - (ก.10) ลงใน (ก.12) - (ก.14) ตามลำดับ ซึ่งจะทำให้ได้ค่าของ A_r , A_θ และ A_ϕ ซึ่งอยู่ในรูปแบบของกระแสตามโครงสร้างสายอากาศบ่วง ดังนี้

$$\begin{aligned} A_r &= \frac{a\mu}{4\pi} \int_C \left(I_\rho \cos\phi' - I_\phi \sin\phi' \right) \frac{e^{-jkR}}{R} d\phi' \sin\theta \cos\phi \\ &\quad + \frac{a\mu}{4\pi} \int_C \left(I_\rho \sin\phi' + I_\phi \cos\phi' \right) \frac{e^{-jkR}}{R} d\phi' \sin\theta \sin\phi \\ &\quad + \frac{a\mu}{4\pi} \int_C I_z \frac{e^{-jkR}}{R} d\phi' \cos\theta \end{aligned} \quad (\text{ก.15})$$

$$\begin{aligned} A_r &= \frac{a\mu}{4\pi} \int_C \left[\left(I_\rho \cos\phi' - I_\phi \sin\phi' \right) \frac{e^{-jkR}}{R} d\phi' \sin\theta \cos\phi \right. \\ &\quad + \left. \left(I_\rho \sin\phi' + I_\phi \cos\phi' \right) \frac{e^{-jkR}}{R} d\phi' \sin\theta \sin\phi \right. \\ &\quad \left. + I_z \frac{e^{-jkR}}{R} d\phi' \cos\theta \right] \frac{e^{-jkR}}{R} d\phi' \end{aligned} \quad (\text{ก.16})$$

$$\begin{aligned} A_r &= \frac{a\mu}{4\pi} \int_C \left[I_\rho (\cos\phi \cos\phi' + \sin\phi \sin\phi') \right. \\ &\quad \left. + I_\phi (-\sin\phi' \cos\phi + \cos\phi' \sin\phi) + I_z \cos\theta \right] \frac{e^{-jkR}}{R} d\phi' \end{aligned} \quad (\text{ก.17})$$

$$A_r = \frac{a\mu}{4\pi} \int_C \left[I_\rho \sin\theta \cos(\phi - \phi') + I_\phi \sin\theta \sin(\phi - \phi') + I_z \cos\theta \right] \times \frac{e^{-jkR}}{R} d\phi' \quad (\text{ก.18})$$

$$\begin{aligned} A_\theta &= \frac{a\mu}{4\pi} \int_C \left[I_\rho \cos\phi' \cos\theta \cos\phi - I_\phi \sin\phi' \cos\theta \cos\phi \right. \\ &\quad + I_\rho \sin\phi' \cos\theta \sin\phi + I_\phi \cos\phi' \cos\theta \sin\phi \\ &\quad \left. + I_z \sin\theta \right] \frac{e^{-jkR}}{R} d\phi' \end{aligned} \quad (\text{ก.19})$$

$$\begin{aligned} A_\theta &= \frac{a\mu}{4\pi} \int_C \left[I_\rho \cos\theta (\cos\phi \cos\phi' + \sin\phi \sin\phi') \right. \\ &\quad \left. + I_\phi \cos\theta (-\cos\phi \sin\phi' + \sin\phi \cos\phi') + I_z \sin\theta \right] \frac{e^{-jkR}}{R} d\phi' \end{aligned} \quad (\text{ก.20})$$

$$A_\theta = \frac{a\mu}{4\pi} \int_C [I_\rho \cos\theta \cos(\phi - \phi') + I_\phi \cos\theta \sin(\phi - \phi') - I_z \sin\theta] \times \frac{e^{-jkR}}{R} d\phi' \quad (\text{n.20})$$

$$\begin{aligned} A_\phi &= \frac{a\mu}{4\pi} \int_C -[I_\rho \cos\phi' \sin\phi - I_\phi \sin\phi \sin\phi \\ &\quad + I_\rho \sin\phi' \cos\phi + I_\phi \cos\phi' \cos\phi] \frac{e^{-jkR}}{R} d\phi' \end{aligned} \quad (\text{n.22})$$

$$\begin{aligned} A_\phi &= \frac{a\mu}{4\pi} \int_C [-I_\rho (\cos\phi' \sin\phi - \sin\phi' \cos\phi) \\ &\quad + (I_\phi \sin\phi' \sin\phi + \cos\phi' \cos\phi)] \frac{e^{-jkR}}{R} d\phi' \end{aligned} \quad (\text{n.23})$$

$$A_\phi = \frac{a\mu}{4\pi} \int_C [-I_\rho \sin(\phi - \phi') + I_\phi \cos(\phi - \phi')] \frac{e^{-jkR}}{R} d\phi' \quad (\text{n.24})$$

ดังนั้น เมื่อนำสมการของศักย์เชิงเวกเตอร์ \mathbf{A} ในสมการที่ (ก.18), (ก.21) และ (ก.24) มาเปรียบเทียบกับสมการที่ (2.3) จะสามารถนำมาเขียนเป็นสมการกระแสไฟฟ้าได้ดังนี้

$$\begin{aligned} \mathbf{I}_e &= \hat{\mathbf{a}}_r [I_\rho \sin\theta \cos(\phi - \phi') + I_\phi \sin\theta \sin(\phi - \phi') + I_z \cos\theta] \\ &\quad + \hat{\mathbf{a}}_\theta [I_\rho \cos\theta \cos(\phi - \phi') + I_\phi \cos\theta \sin(\phi - \phi') - I_z \sin\theta] \\ &\quad + \hat{\mathbf{a}}_\phi [-I_\rho \sin(\phi - \phi') + I_\phi \cos(\phi - \phi')] \end{aligned} \quad (\text{n.25})$$

สาขากาศบ่งคานรูปจะมีกระแสเนินพะในองค์ประกอบ ϕ เท่านั้น สำหรับองค์ประกอบ ρ และ z จะมีค่าเป็นศูนย์ บังผลให้ได้

$$A_\phi = \frac{a\mu}{4\pi} \int_C I_\phi \cos(\phi - \phi') \times \frac{e^{-jkR}}{R} d\phi' \quad (\text{n.26})$$



สมการเชิงอนุพันธ์แบบเบสเซลอันดับ p (Bessel's differential equation of order p) คือ สมการซึ่งอยู่ในรูป

$$x^2 y'' + xy' + (x^2 - p^2) y = 0 \quad (\text{ก.1})$$

โดยที่ p เป็นพารามิเตอร์ที่เป็นจำนวนจริงและ $p \geq 0$

โดยวิธีของฟรabeniusเราจะสมมติให้ผลเฉลยอยู่ในรูป

$$y = \sum_{k=0}^{\infty} a_k x^{k+r} , \quad a_0 \neq 0 \quad (\text{ก.2})$$

แล้วแทนค่า (ก.2) ลงใน (ก.1) จะได้

$$(r^2 - p^2)a_0 x^r + [(r+1)^2 - p^2]a_1 x^{r+1} + \sum_{k=2}^{\infty} [(k+r)^2 - p^2]a_k x^{k+r} = 0 \quad (\text{ก.3})$$

ซึ่งจะเป็นจริงเมื่อสัมประสิทธิ์ของ x กำลังต่างๆ เป็นศูนย์ ดังนั้นจะได้สมการดังนี้

$$r^2 - p^2 = 0 \quad (\text{ก.4})$$

และ

$$[(r+1)^2 - p^2]a_1 = 0 \quad (\text{ก.5})$$

และเมื่อ $k \geq 2$ จะได้

$$[(k+r)^2 - p^2]a_k = -a_{k-2} \quad (\text{ก.6})$$

หรือ

$$a_k = -\frac{a_{k-2}}{(k+r)^2 - p^2} = -\frac{a_{k-2}}{[k+r-p][k+r+p]} \quad (\text{ก.7})$$

จาก (ก.4) จะได้รากของสมการคือ $r_1 = p$ และ $r_2 = -p$

แทนค่า $r = r_1 = p$ ใน (ก.5) จะได้ว่า $a_1 = 0$ และจาก (ก.7) จะได้

$$a_k = -\frac{a_{k-2}}{k(k+2p)} \quad , \quad k \geq 2 \quad (\text{v.8})$$

เนื่องจาก $a_1 = 0$ ดังนั้นจาก (v.5b) จะได้ว่า $a_3 = a_5 = \dots = 0$ และสำหรับ k ที่เป็นเลขคู่ ให้ $k = 2m$ จะได้

$$a_{2m} = -\frac{a_{2m-2}}{2^2 m(m+p)} \quad , \quad m = 1, 2, 3, \dots \quad (\text{v.9})$$

เนื่องจาก a_0 เป็นค่าคงตัวไม่เจาะจง ในที่นี้เราจะใช้ $a_0 = \frac{1}{2^p \Gamma(p+1)}$ ดังนั้น

$$\begin{aligned} a_2 &= -\frac{a_0}{2^2(p+1)} = -\frac{1}{2^{2+p}1!(p+1)\Gamma(p+1)} = -\frac{1}{2^{2+p}1!\Gamma(p+2)} \\ a_4 &= -\frac{a_2}{2^2 \cdot 2(p+2)} = \frac{1}{2^{4+p} \cdot 2 \cdot 1!(p+2)\Gamma(p+2)} = \frac{1}{2^{4+p}2!\Gamma(p+3)} \\ a_6 &= -\frac{a_4}{2^2 \cdot 3(p+3)} = -\frac{1}{2^{6+p} \cdot 3 \cdot 2!(p+3)\Gamma(p+3)} = -\frac{1}{2^{6+p}3!\Gamma(p+4)} , \dots \end{aligned}$$

โดยทั่วไปจะได้

$$a_{2m} = \frac{(-1)^m}{2^{2m+p} m! \Gamma(p+m+1)} \quad , \quad m = 0, 1, 2, 3, \dots \quad (\text{v.10})$$

เมื่อแทนค่าสัมประสิทธิ์เหล่านี้ลงในผลเฉลยที่สมนติไว้จะได้ผลเฉลยเฉพาะของสมการเบสเซล ซึ่งจะเขียนแทนด้วย $J_p(x)$ นั่นคือ

$$J_p(x) = \sum_{m=0}^{\infty} a_{2m} x^{2m+p} = \sum_{m=0}^{\infty} \frac{(-1)^m}{m! \Gamma(p+m+1)} \left(\frac{x}{2}\right)^{2m+p} \quad (\text{v.11})$$

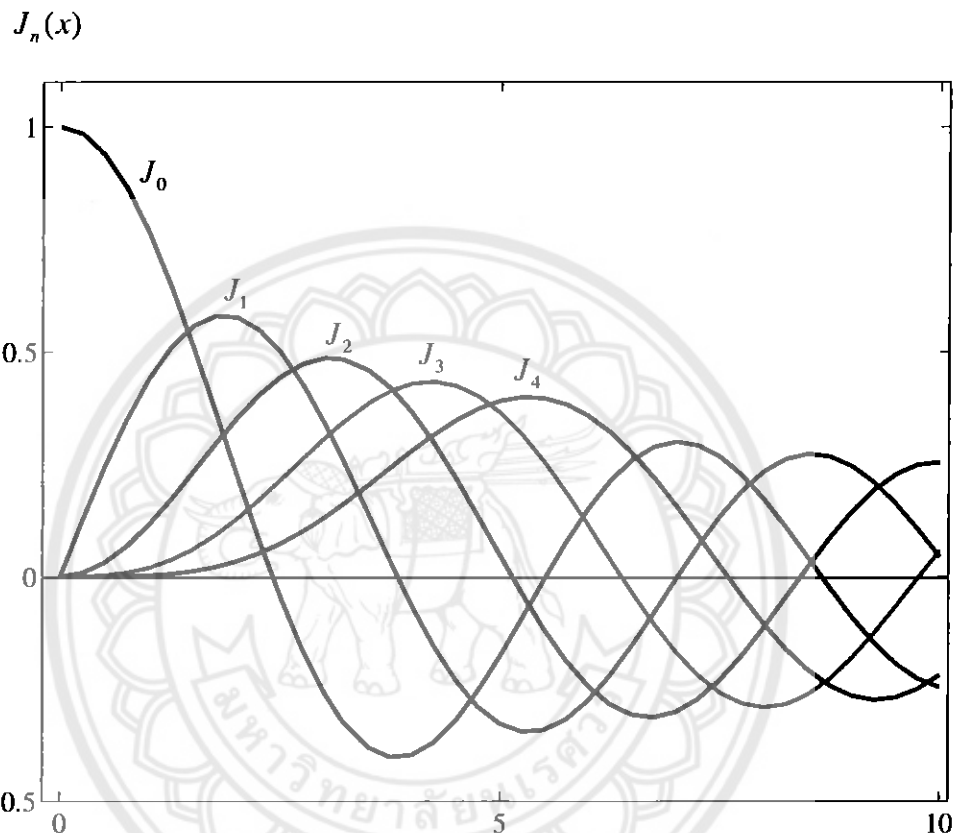
และเรียก $J_p(x)$ ว่า พังก์ชันเบสเซลชนิดที่หนึ่งอันดับ p (Bessel's differential equation of order p) สังเกตว่า $J_0(0) = 1$ และ $J_p(0) = 0$ สำหรับ $p > 0$

พังก์ชันเบสเซลที่พบมากในทางประยุกต์ คือ $J_0(x)$ และ $J_1(x)$ ซึ่งเขียนออกมาอย่างชัดเจนได้เป็น

$$J_0(x) = 1 - \frac{x^2}{2^2(1!)^2} + \frac{x^4}{2^4(2!)^2} - \frac{x^6}{2^6(3!)^2} + \dots \quad (\text{v.12})$$

$$J_1(x) = \frac{x}{2} - \frac{x^3}{2^3 1! 2!} + \frac{x^5}{2^5 2! 3!} - \frac{x^7}{2^7 3! 4!} + \dots \quad (\text{ก.13})$$

และแสดงในรูปที่ ก.1



รูปที่ ก.1 ฟังก์ชันเบสเซลชนิดที่หนึ่งอันดับ p (Bessel function of the first kind of order p)

ต่อไปพิจารณาหาผลเฉลยที่สองของสมการเบสเซล

$$\text{เนื่องจาก } r_1 - r_2 = p - (-p) = 2p$$

กรณีที่ 1 ถ้า $2p$ ไม่เป็นจำนวนเต็ม จะได้ว่า p ไม่เป็นจำนวนเต็มด้วย

ใช้ $r_2 = -p$ หาผลเฉลยในทำนองเดียวกับการใช้ $r_1 = p$ จะได้ผลเฉลยที่สองของสมการเป็น

$$J_{-p}(x) = \sum_{m=0}^{\infty} \frac{(-1)^m}{m! \Gamma(-p+m+1)} \left(\frac{x}{2}\right)^{2m-p} \quad (\text{ก.14})$$

เนื่องจาก $J_{-p}(x)$ มีพจน์ x^{-p} ในขณะที่ $J_p(x)$ ไม่มี เพราะฉะนั้นจะได้ว่า $J_p(x)$ และ $J_{-p}(x)$ เป็นอิสระเชิงเส้นต่อกัน แต่เพื่อจุดประสงค์หมาย Ago ย่าง จะสะดวกกว่าที่จะใช้

$$Y_p(x) = \frac{(\cos p\pi)J_p(x) - J_{-p}(x)}{\sin(p\pi)} \quad (\text{ก.15})$$

แทน $J_{-p}(x)$ เป็นผลเฉลยที่สองของสมการเบสเซลและเรียก $Y_p(x)$ ว่า พังก์ชันเบสเซลชนิดที่สอง อันดับ p (Bessel's differential equation of order p)

กรณีที่ 2 ถ้า $2p$ เป็นจำนวนเต็ม ก็ จะได้ว่า p ไม่เป็นจำนวนเต็ม ให้ $2p = N$

แทนค่า $r_2 = -p$ ลงในสมการ (ก.5b) จะได้

$$k(k-N)a_k = -a_{k-2} \quad , \quad k \geq 2 \quad (\text{ก.16})$$

เมื่อแทนค่า $k = 2,3,4,\dots$ ลงในสมการ (ก.13) เป็นลำดับไปจนกระทั่งถึง $k = N$ จะได้

$$a_3 = a_5 = \dots = a_{N-2} = 0 \quad \text{และ} \quad 0 \cdot a_N = a_{N-2} = 0 \quad (\text{ก.17})$$

เนื่องจาก a_N เป็นค่าคงตัวไม่เจาะจง ดังนั้นเลือก $a_N = 0$ ผลที่ตามมาคือ เหลือสัมประสิทธิ์ a_k เมื่อ $k = 2,4,6,\dots$ และเราจะได้ผลเฉลยที่สองจากค่า $r_2 = -p$ เช่นเดียวกับกรณีที่ 1

กรณีที่ 3 ถ้า $2p$ เป็นจำนวนเต็มครึ่ง จะได้ว่า p เป็นจำนวนเต็ม ให้ $p = n$ จะได้

$$J_{-n}(x) = \sum_{m=0}^{\infty} \frac{(-1)^m}{m! \Gamma(-n+m+1)} \left(\frac{x}{2} \right)^{2m-n} \quad (\text{ก.18})$$

แต่ $\frac{1}{\Gamma(x)} = 0$ ทุกค่า $x = 0, -1, -2, \dots$ ดังนั้น

$$\frac{1}{\Gamma(-n+m+1)} = 0 \quad \text{เมื่อ} \quad m = 0, 1, 2, 3, \dots, (n-1) \quad (\text{ก.19})$$

ผลที่ได้คือ $J_{-n}(x) = \sum_{m=n}^{\infty} \frac{(-1)^m}{m! \Gamma(-n+m+1)} \left(\frac{x}{2} \right)^{2m-n} \quad (\text{ก.20})$

ให้ $k = m - n$ จะได้

$$\begin{aligned} J_{-n}(x) &= \sum_{k=0}^{\infty} \frac{1}{(k+n)! \Gamma(k+1)} \left(\frac{x}{2}\right)^{2k+n} \\ &= (-1)^n \sum_{k=0}^{\infty} \frac{(-1)^k}{k! \Gamma(n+k+1)} \left(\frac{x}{2}\right)^{2k+n} \\ &= (-1)^n J_n(x) \end{aligned} \quad (\text{ก.21})$$

ซึ่งแสดงว่า $J_n(x)$ และ $J_{-n}(x)$ ไม่เป็นอิสระเชิงเส้นต่อกัน

ดังนั้นเมื่อ $p = n = 0, 1, 2, \dots$ เราจะได้ผลเฉลยของสมการเบสเซลเพียงผลเฉลยเดียวเท่านั้นคือ $J_n(x)$ แต่เราสามารถหาผลเฉลยที่สองได้ในรูป $J_n(x) \int \frac{1}{x J_n^2(x)} dx$ หรืออาจจะหาได้อีกอย่างในรูปของคณิตของ $Y_p(x)$ เมื่อ $p \rightarrow n$ ซึ่งสามารถแสดงได้ว่าค่าอนุพันธ์มีค่าและจะเขียนแทนด้วย $Y_n(x)$ นั่นคือ

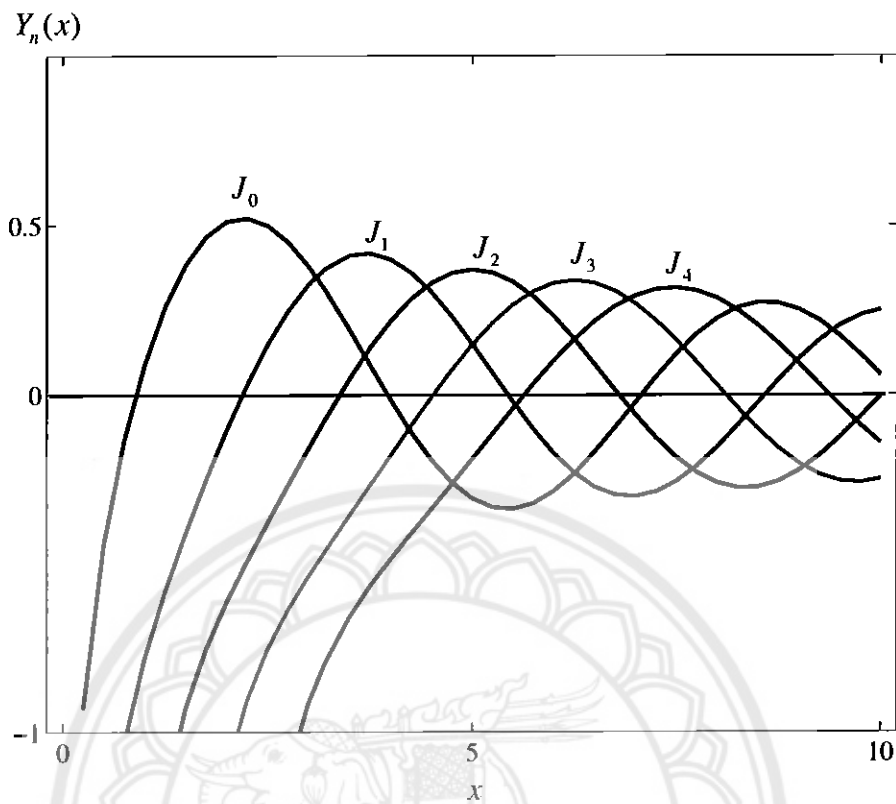
$$Y_n(x) = \lim_{p \rightarrow n} Y_p(x) = \lim_{p \rightarrow n} \frac{(\cos p\pi) J_p(x) - J_{-p}(x)}{\sin p\pi} \quad (\text{ก.22})$$

ดังนั้นผลเฉลยสุดท้ายของสมการเบสเซลอันดับ p จะอยู่ในรูป

$$y(x) = c_1 J_p(x) + c_2 Y_p(x) \quad (\text{ก.23})$$

และถ้า p ไม่เป็นจำนวนเต็ม จะเขียนผลเฉลยสุดท้ายของสมการเบสเซลอันดับ p ได้อีกอย่าง คือ

$$y(x) = c_1 J_p(x) + c_2 J_{-p}(x) \quad (\text{ก.24})$$



รูปที่ ๖.๒ พังก์ชันเบสเซลชนิดที่สองอันดับ p (Bessel's differential equation of order p)

เอกลักษณ์ของพังก์ชันเบสเซล (Bessel function identities)

จะพิจารณาคุณสมบัติที่สำคัญ ดังนี้

$$J_p(x) = \sum_{m=0}^{\infty} \frac{(-1)^m}{m! \Gamma(p+m+1)} \left(\frac{x}{2}\right)^{2m+p} \quad (\text{U.25})$$

ถ้า p เป็นจำนวนเต็มที่ไม่เป็นลบ จะได้

$$\begin{aligned} \frac{d}{dx}[x^p J_p(x)] &= \frac{d}{dx} \sum_{m=0}^{\infty} \frac{(-1)^m x^{2m+2p}}{2^{2m+p} \cdot m! (p+m)!} \\ \frac{d}{dx}[x^p J_p(x)] &= \sum_{m=0}^{\infty} \frac{(-1)^m x^{2m+2p-1}}{2^{2m+p-1} m! (p+m-1)!} \\ &= x^p \sum_{m=0}^{\infty} \frac{(-1)^m x^{2m+p-1}}{2^{2m+p-1} m! (p+m-1)!} \\ &= x^p \sum_{m=0}^{\infty} \frac{(-1)^m}{m! \Gamma(p+m)} \left(\frac{x}{2}\right)^{2m+p-1} \end{aligned}$$

นั่นคือ

$$\frac{d}{dx}[x^p J_p(x)] = x^p J_{p-1}(x) \quad (\text{ก.26})$$

ในทำนองเดียวกันจะพิสูจน์ได้ว่า

$$\frac{d}{dx}[x^{-p} J_p(x)] = -x^{-p} J_{p+1}(x) \quad (\text{ก.27})$$

จาก (ก.26) จะได้

$$\begin{aligned} px^{p-1} J_p(x) + x^p J'_p(x) &= x^p J_{p-1}(x) \\ J'_p(x) &= J_{p-1}(x) - \frac{p}{x} J_p(x) \end{aligned} \quad (\text{ก.28})$$

จาก (ก.27) จะได้

$$J'_p(x) = \frac{p}{x} J_p(x) - J_{p+1}(x) \quad (\text{ก.29})$$

นำ (ก.28) - (ก.29) จะได้

$$J_{p-1}(x) + J_{p+1}(x) = \frac{2p}{x} J_p(x) \quad (\text{ก.30})$$

นำ (ก.28) + (ก.29) จะได้

$$J_{p-1}(x) - J_{p+1}(x) = 2J'_p(x) \quad (\text{ก.31})$$

สมการ (ก.30) มีประโยชน์ในการหาฟังก์ชันแบบสเซลที่มีอันดับสูงขึ้น โดยเปลี่ยนในพจน์ของฟังก์ชันแบบสเซลที่มีอันดับน้อยกว่า

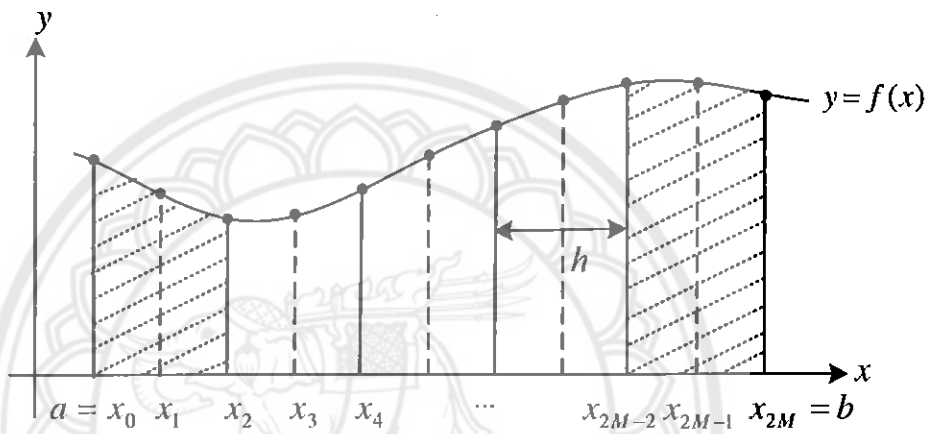


การอินทิเกรตเชิงตัวเลขโดยใช้หลักเกณฑ์ซึมป์สัน

พิจารณาการอินทิเกรตฟังก์ชัน $f(x)$ ช่วง $[a, b]$ ตามสมการข้างล่างนี้

$$\int_a^b f(x)dx \approx s(f, h) \quad (\text{ค.1})$$

เพื่อที่หาค่าของการอินทิเกรตสมมติให้ $[a, b]$ แบ่งย่อยออกเป็น $2M$ ในส่วนย่อย $[x_k, x_{k+1}]$ ด้วย
ความกว้างเท่ากันที่ $h = (b - a)/2M$ โดยใช้ $x_k = a + kh$ สำหรับ $k = 0, 1, \dots, 2M$ แสดงได้
ดังรูป



รูปที่ ก.1 การแบ่งช่วงของการอินทิเกรตแบบซิมป์สัน

ค่าของการอินทิเกรตตั้งแต่ช่วง a ถึง b สามารถประมาณได้จากหลักเกณฑ์ของซิมป์สัน (Simpson's rule) ซึ่งประมาณได้จากการคิดประกอบ ตั้งแต่ช่วง a ถึง b ดังนี้

$$S(f, h) = \frac{h}{3} \sum_{k=1}^{M} (f(x_{2k-2}) + 4f(x_{2k-1}) + f(x_{2k})) \quad (\text{ค.2})$$

หรือ

$$S(f, h) = \frac{h}{3} (f_0 + 4f_1 + 2f_2 + 4f_3 + \dots + 2f_{2M-2} + 4f_{2M-1} + f_{2M}) \quad (\text{ค.3})$$

หรือ

$$S(f, h) = \frac{h}{3} (f(a) + f(b)) + \frac{2h}{3} \sum_{k=1}^{M-1} f(x_{2k}) + \frac{4h}{3} \sum_{k=1}^{M} f(x_{2k-1}) \quad (\text{ค.4})$$



โปรแกรมแสดงสภาพเจาะจงทิศทาง (directivity) ของสายอากาศป่วงภาคสนามไฟฟ้า โดยอาศัยการวิเคราะห์ในย่านสนามไกล (far-field region)

ค่าสภาพเจาะจงทิศทางจะพิจารณาในย่านสนามไกล ตามสมการ (2.70) และ (2.75) โดยจะมีการกำหนดค่า a ให้แตกต่างกัน โดยให้ a มีค่า $a = 0.1\lambda$, $a = 0.2\lambda$ และ $a = 0.5\lambda$ โปรแกรม MATLAB สำหรับการหาค่าสภาพเจาะจงทิศทางและแบบรูป สามารถแสดงได้ดังนี้

```

clc
clear all
close all

%*****
%constant
%*****
k=2*pi;
c=3*10^8;
w=2*pi*c;
I0=1;
u=4*pi*10^-7; % permeability
n=120*pi;      % intrinsic impedance
E1=1;
r=1;
max1=2*0.999*pi;
max=200;
step=max1/(max-1);

ak=0.1*2*pi;    %a= 0.1
%*****E_plane*****
%
for ii=1:max
    theta=(ii-1)*step;
    temp1=r^2/(2*n);
    temp2=ak*n*I0*exp(-j*k*r)/(2*r);
    temp3=besselj(1,ak*sin(theta));
    UMAX=temp1*abs(temp2*temp3)^2;

    %f1 = besselj(1,ak*sin(x));
    %f2 = char(f1);
    %f3 = [f2,'.*',f2,'.*sin(x)'];
    %f3=besselj(1,ak*sin(x))*besselj(1,ak*sin(x))*sin(x);

    Total_integral_value=quadl('besselj(1,0.1*2*pi*sin(x)).*besselj(1,0.1
    *2*pi*sin(x)).*sin(x)',0,pi);

    Constant_value = (pi*((ak*w*u)^2)*((I0)^2))/(4*n);
    PRAD=Constant_value*Total_integral_value;
    D(ii)=4*pi*UMAX/PRAD;
    DDB(ii)=5.35*log10(D(ii));
    Xaxis(ii)=theta;
end
DDB_off=DDB-min(DDB(2:end));
polar(Xaxis,DDB_off,'-k')

```

```

ak=0.2*2*pi;      %a= 0.2
%*****
%
% E_plane
%*****
for ii=1:max
    theta=(ii-1)*step;
    temp1=r^2/(2*n);
    temp2=ak*n*I0*exp(-j*k*r)/(2*r);
    temp3=besselj(1,ak*sin(theta));
    UMAX=temp1*abs(temp2*temp3)^2;

    %f1 = besselj(1,ak*sin(x));
    %f2 = char(f1);
    %f3 = [f2,'.*',f2,'.*sin(x)'];
    %f3=besselj(1,ak*sin(x))*besselj(1,ak*sin(x))*sin(x);

    Total_integral_value=quadl('besselj(1,0.2*2*pi*sin(x)).*besselj(1,0.2
    *2*pi*sin(x)).*sin(x)',0,pi);

    Constant_value = (pi*((ak*w*u)^2)*((I0)^2))/(4*n);
    PRAD=Constant_value*Total_integral_value;
    D(ii)=4*pi*UMAX/PRAD;
    DDB(ii)=5.35*log10(D(ii));
    Xaxis(ii)=theta;
end
DDB_off=DDB-min(DDB(2:end));
hold on
grid on
polar(Xaxis,DDB_off,'--k')

ak=0.5*2*pi;      %a= 0.5
%*****
%
% E_plane
%*****
for ii=1:max
    theta=(ii-1)*step;
    temp1=r^2/(2*n);
    temp2=ak*n*I0*exp(-j*k*r)/(2*r);
    temp3=besselj(1,ak*sin(theta));
    UMAX=temp1*abs(temp2*temp3)^2;

    %f1 = besselj(1,ak*sin(x));
    %f2 = char(f1);
    %f3 = [f2,'.*',f2,'.*sin(x)'];
    %f3=besselj(1,ak*sin(x))*besselj(1,ak*sin(x))*sin(x);

    Total_integral_value=quadl('besselj(1,0.5*2*pi*sin(x)).*besselj(1,0.5
    *2*pi*sin(x)).*sin(x)',0,pi);

    Constant_value = (pi*((ak*w*u)^2)*((I0)^2))/(4*n);
    PRAD=Constant_value*Total_integral_value;
    D(ii)=4*pi*UMAX/PRAD;
    DDB(ii)=6.3*log10(D(ii));
    Xaxis(ii)=theta;
end
DDB_off=DDB-min(DDB(2:end));
polar(Xaxis,DDB_off,'-.k')
legend('\alpha = 0.1','\alpha = 0.2','\alpha = 0.5')

%%%%%%%%%%%%%%%

```

โปรแกรมแสดงสภาพเจาะจงทิศทาง (directivity) ของสายอากาศบ่วงภาคสนามไฟฟ้า โดยอาศัยการวิเคราะห์ของอนุกรมแม่คอลอริน (Maclaurin series)

ค่าสภาพเจาะจงทิศทางพิจารณาโดยใช้ออนุกรมแม่คอลอริน ตามสมการ (2.45) - (2.46) และ (2.75)

โดยจะมีการกำหนดค่า a ให้แตกต่างกัน โดยให้ a มีค่า $a = 0.1\lambda$, $a = 0.2\lambda$ และ $a = 0.5\lambda$

โปรแกรม MATLAB สำหรับการหาค่าสภาพเจาะจงทิศทางและแบบรูป สามารถแสดงได้ดังนี้

```

clc
clear all
close all

%%%%%
%constant
%%%%%
k=2*pi;
int=120*pi;
E1=1;
I0=1;
r=1;
max_1=2*0.999*pi;
n=200;
step=max_1/(n-1);

ak=0.1*2*pi;      %a = 0.1
%%%%%
%          E_plane
%%%%%
for ii=1:n
    theta=(ii-1)*step;
    temp1=r^2/(2*int);
    temp2=(ak)^2*int*I0*sin(theta)*(1+1/j*k*r)*exp(-j*k*r)/(2*r);
    temp3=temp1*abs(temp2)^2;
    y_db(ii,1)=5.35*log10(temp3);
    x(ii,1)=theta;
end
y_db_off1=y_db-min(y_db(2:end));
polar(x,y_db_off1,'-k')

ak=0.2*2*pi;      %a = 0.2
%%%%%
%          E_plane
%%%%%
for ii=1:n
    theta=(ii-1)*step;
    temp1=r^2/(2*int);
    temp2=ak^2*int*I0*sin(theta)*(1+1/j*k*r)*exp(-j*k*r)/(2*r);
    temp3=temp1*abs(temp2)^2;
    y_db(ii,1)=5*log10(temp3);
    x(ii,1)=theta;
end
y_db_off2=y_db-min(y_db(2:end));
hold on
grid on
polar(x,y_db_off2,'--k')

```

```

ak=0.5*2*pi;      %a =0.5
%*****E_plane*****
for ii=1:n
    theta=(ii-1)*step;
    temp1=r^2/(2*n);
    temp2=ak^2*n*I0*sin(theta)*(1+1/j*k*r)*exp(-j*k*r)/(2*r);
    temp3=temp1*abs(temp2)^2;
    y_db(ii,1)=4.5*log10(temp3);
    x(ii,1)=theta;
end
y_db_off3=y_db-min(y_db(2:end));
polar(x,y_db_off3,'-.k')

legend ('\alpha = 0.1', '\alpha = 0.2', '\alpha = 0.5')

%%%%%%%%%%%%%%%

```

โปรแกรมแสดงการเปรียบเทียบสภาพเจาะจงทิศทาง (directivity) ของสายอากาศจากการประมาณ ในย่านสนานไกลและอนุกรมแมคคลอริน

สภาพเจาะจงทิศทางจะได้รับการวิเคราะห์จากการประมาณในย่านสนานไกลและอนุกรมแมคคลอริน โดยจะมีการกำหนดค่า a ให้แตกต่างกัน โดยให้ a มีค่า $a = 0.1\lambda$, $a = 0.2\lambda$ และ $a = 0.5\lambda$ ผลลัพธ์ที่ได้จะมีลักษณะของการแผ่พลังงานที่มีค่าใกล้เคียงกัน ผลลัพธ์นี้นำมาวัดกราฟโดยใช้โปรแกรม MATLAB ดังนี้

กำหนดค่า a โดยให้ a มีค่า $a = 0.1\lambda$

```

clc
clear all
close all

%*****
%constant
%*****
k=2*pi;
c=3*10^8;
w=2*pi*c;
I0=1;
u=4*pi*10^-7; % permeability
n=120*pi;       % intrinsic impedance
E1=1;
r=1;
max1=2*0.999*pi;
max=200;
step=max1/(max-1);

ak=0.1*2*pi;      %a= 0.1
%*****E_plane*****
for ii=1:max
    theta=(ii-1)*step;
    temp1=r^2/(2*n);

```

```

temp2=ak*n*I0*exp(-j*k*r)/(2*r);
temp3=besselj(1,ak*sin(theta));
UMAX=temp1*abs(temp2*temp3)^2;

%f1 = besselj(1,ak*sin(x));
%f2 = char(f1);
%f3 = [f2,'.*',f2,'.*sin(x)'];
% $f_3 = besselj(1,ak\sin(x)) * besselj(1,ak\sin(x)) * \sin(x);$ 

Total_integral_value=quadl('besselj(1,0.1*2*pi*sin(x)).*besselj(1,0.1
*2*pi*sin(x)).*sin(x)',0,pi);
Constant_value = (pi*((ak*w*u)^2)*((I0)^2))/(4*n);
PRAD=Constant_value*Total_integral_value;
D(ii)=4*pi*UMAX/PRAD;
DDB(ii)=5.35*log10(D(ii));
Xaxis(ii)=theta;
end
DDB_off=DDB-min(DDB(2:end));
polar(Xaxis,DDB_off,'-k')

ak=0.1*2*pi;      %a = 0.1
%*****
% E_plane
%*****
for ii=1:max
    theta=(ii-1)*step;
    temp1=r^2/(2*n);
    temp2=(ak)^2*n*I0*sin(theta)*(1+1/j*k*r)*exp(-j*k*r)/(2*r);
    temp3=temp1*abs(temp2)^2;
    y_db(ii,1)=5.35*log10(temp3);
    x(ii,1)=theta;
end
y_db_off1=y_db-min(y_db(2:end));
hold on
grid on
polar(x,y_db_off1,'-.k')
legend('\alpha = 0.1', '\alpha = 0.1')

```

และค่า a ที่ค่า $a = 0.2\lambda$

```

clc
clear all
close all

%*****
%constant
%*****
k=2*pi;
c=3*10^8;
w=2*pi*c;
I0=1;
u=4*pi*10^-7; % permeability
n=120*pi;      % intrinsic impedance
E1=1;
r=1;
max1=2*0.999*pi;
max=200;
step=max1/(max-1);

```

```

ak=0.2*2*pi;      %a= 0.1
%*****E_plane*****
for ii=1:max
    theta=(ii-1)*step;
    temp1=r^2/(2^n);
    temp2=ak*n*I0*exp(-j*k*r)/(2*r);
    temp3=besselj(1,ak*sin(theta));
    UMAX=temp1*abs(temp2*temp3)^2;

    %f1 = besselj(1,ak*sin(x));
    %f2 = char(f1);
    %f3 = [f2,'.*',f2,'.*sin(x)'];
    %f3=besselj(1,ak*sin(x))*besselj(1,ak*sin(x))*sin(x);

    Total_integral_value=quadl('besselj(1,0.1*2*pi*sin(x)).*besselj(1,0.1
    *2*pi*sin(x)).*sin(x)',0,pi);
    Constant_value = (pi*((ak*w*u)^2)*((I0)^2))/(4^n);
    PRAD=Constant_value*Total_integral_value;
    D(ii)=4*pi*UMAX/PRAD;
    DDB(ii)=5.35*log10(D(ii));
    Xaxis(ii)=theta;
end
DDB_off=DDB-min(DDB(2:end));
polar(Xaxis,DDB_off,'-k')

ak=0.2*2*pi;      %a =0.1
%*****E_plane*****
for ii=1:max
    theta=(ii-1)*step;
    temp1=r^2/(2^n);
    temp2=(ak)^2*n*I0*sin(theta)*(1+1/j*k*r)*exp(-j*k*r)/(2*r);
    temp3=temp1*abs(temp2)^2;
    y_db(ii,1)=5*log10(temp3);
    x(ii,1)=theta;
end
y_db_off1=y_db-min(y_db(2:end));
hold on
grid on
polar(x,y_db_off1,'-.k')
legend('\alpha = 0.2', '\alpha = 0.2')

```

และค่า a ที่ค่า $a = 0.5\lambda$

```

clc
clear all
close all

%*****
%constant
%*****
k=2*pi;
c=3*10^8;
w=2*pi*c;
I0=1;
u=4*pi*10^-7; % permeability
n=120*pi;      % intrinsic impedance

```

```

E1=1;
r=1;
max1=2*0.999*pi;
max=200;
step=max1/(max-1);

ak=0.5*2*pi;      %a= 0.1
%*****E_plane*****
for ii=1:max
    theta=(ii-1)*step;
    temp1=r^2/(2*n);
    temp2=ak*n*I0*exp(-j*k*r)/(2*r);
    temp3=besselj(1,ak*sin(theta));
    UMAX=temp1*abs(temp2*temp3)^2;
    %f1 = besselj(1,ak*sin(x));
    %f2 = char(f1);
    %f3 = [f2,'.*',f2,'.*sin(x)'];
    %f3=besselj(1,ak*sin(x))*besselj(1,ak*sin(x))*sin(x);

    Total_integral_value=quadl('besselj(1,0.1*2*pi*sin(x)).*besselj(1,0.1
    *2*pi*sin(x)).*sin(x)',0,pi);
    Constant_value = (pi*((ak*w*u)^2)*((I0)^2))/(4*n);
    PRAD=Constant_value*Total_integral_value;
    D(ii)=4*pi*UMAX/PRAD;
    DDB(ii)=6.3*log10(D(ii));
    Xaxis(ii)=theta;
end
DDB_off=DDB-min(DDB(2:end));
polar(Xaxis,DDB_off,'-k')

ak=0.5*2*pi;      %a =0.1
%*****E_plane*****
for ii=1:max
    theta=(ii-1)*step;
    temp1=r^2/(2*n);
    temp2=(ak)^2*n*I0*sin(theta)*(1+1/j*k*r)*exp(-j*k*r)/(2*r);
    temp3=temp1*abs(temp2)^2;
    y_db(ii,1)=4.5*log10(temp3);
    x(ii,1)=theta;
end
y_db_off1=y_db-min(y_db(2:end));
hold on
grid on
polar(x,y_db_off1,'-.k')
legend('\alpha = 0.5','\alpha = 0.5')

%%%%%%%%%%%%%

```

โปรแกรมแสดงความต้านทานการแผ่พลังงาน (radiation resistance) ของสายอากาศบ่วง เทียบกับรัศมี (a) ของสายอากาศบ่วง

ความสัมพันธ์ระหว่างความต้านทานการแผ่พลังงานและรัศมี (a) ของสายอากาศบ่วงขนาดเล็ก มีค่าตามสมการ (2-126) และ (2-131) ขนาดของบ่วงให้รับการกำหนดให้มีรัศมีตั้งแต่ $\lambda/100$ ถึง $\lambda/30$ โดยที่ให้ λ เป็นค่าคงที่ โปรแกรม MATLAB สำหรับการหาค่าแสดงกราฟดังกล่าว ได้ดังนี้

```

clear all
close all

%*****
% constant
%*****
num=181;
step=pi/(num-1);
ii=1;
lamda=1;
N=100;
n=30;

for a=lamda/N:0.001:lamda/n
    temp3=2*pi/lamda;
    temp4=(temp3*a)^4;
    temp5=(120*pi);
    temp6=pi/8;
    temp7=temp4*temp5*temp6;
    temp8=0;

    for jj=1:num
        theta=(jj-1)*step;
        temp9=(sin(theta))^3;
        temp1=mod(jj,2);
        if jj==1
            temp2=step/3;
        elseif jj==(num+1)
            temp2=step/3;
        elseif temp1==0
            temp2=4*step/3;
        else
            temp2=2*step/3;
        end

        temp10=temp2*temp9;
        temp8=temp8+temp10;
    end
    temp11(ii)=temp7*temp8;
    temp12(ii)=a;
    ii=ii+1;
end

semilogy(temp12,temp11,'-k','linewidth',2)

%%%%%%%%%%%%%

```

โปรแกรมแสดงสภาพเจาะจงทิศทางสูงสุดของสายอากาศบ่งเที่ยบกับความยาวเส้นรอบวง
สภาพเจาะจงทิศทางสูงสุดของสายอากาศบ่งเที่ยบกับความยาวเส้นรอบวง โดยค่าสภาพเจาะจง
ทิศทางจะคำนวณจากการวิเคราะห์ในกรณีบ่วงใหญ่ ร่วมกับการประมาณฟังก์ชันเบสเซล ความยาว
เส้นรอบวงจะได้รับการเปลี่ยนแปลงตั้งแต่ 0λ ถึง 20λ ตามสมการที่ (2-118), (2-122) และ
(2-124) โปรแกรม MATLAB แสดงได้ดังนี้

```
clear all;
clc;
j=1;
N=20;
for ka=0.01:0.04:N
    temp0(j)=10*log10(0.677*ka);
    temp99(j)=ka;
    j=j+1;
end
hold on;
Integrate3_9b(0,pi);
axis([0 20 0 12])
plot(temp99,temp0,'--b','linewidth',2)

%%%%%%%%%%%%%%%
```

โปรแกรมแสดงความสัมพันธ์ระหว่างความต้านทานการแผ่พลังงานเทียบกับความยาวเส้น
รอบวง

ความสัมพันธ์ระหว่างความต้านทานการแผ่พลังงานเทียบกับความยาวเส้นรอบวง จะได้รับการ
วิเคราะห์ในสองกรณี คือ บ่วงเล็กและบ่วงใหญ่ ในสายอากาศบ่วงขนาดเล็ก ความยาวเส้นรอบวงจะ^{จะ}
ได้รับการกำหนดให้เปลี่ยนตั้งแต่ 0λ ถึง 2λ ความต้านทานการแผ่พลังงานจะคำนวณโดย
อาศัยการประมาณของฟังก์ชันเบสเซล ตามสมการ (2-126) และ (2-131) ในสายอากาศบ่วงขนาด
ใหญ่ ความยาวเส้นรอบวงจะได้รับการกำหนดให้เปลี่ยนตั้งแต่ 0λ ถึง 20λ ความต้านทาน
การแผ่พลังงานจะคำนวณโดยอาศัยจากการประมาณค่า และการอินทิเกรตของฟังก์ชันเบสเซล ตาม
สมการ (2-120) และ (2-123) โปรแกรม MATLAB สำหรับการหาค่าความสัมพันธ์ระหว่างความ
ต้านทานการแผ่พลังงานเทียบกับความยาวเส้นรอบวง สามารถแสดงได้ดังนี้

```
clear all
clc
ii=1;
N=20;
for ka=0.01:0.04:N
    temp1=pi^2;
    temp2(ii)=60*temp1*ka;
    temp3(ii)=ka;
    ii=ii+1;
end
plot(temp3,temp2*1e-3,'--b','linewidth',2)
hold on
```

```

ii=1;
n=2.15;
for ka=0.01:0.04:n
    temp4=pi^2;
    temp5=ka^4;
    temp6(ii)=20*temp4*temp5;
    temp7(ii)=ka;
    ii=ii+1;
end

Integrate3_9a(0,pi);
plot(temp7,temp6*1e-3,:black','linewidth',2)

%%%%%%%%%%%%%%%

```

โปรแกรมแสดงวิธีการอินทิเกรตสมการโดยใช้หลักเกณฑ์ของชิมป์สัน

การอินทิเกรต J_2 เพื่อค่าในสมการ (2.120) จะใช้วิธีการทำการอินทิเกรตเชิงตัวเลขตามหลักเกณฑ์ของชิมป์สัน ดังแสดงในภาคผนวก ค ซึ่งสามารถเปลี่ยนโปรแกรมได้ดังนี้

```

function Output =Integrate(a,b)
j=1;
N=20;
for ka=0.01:0.04:N
    temp3=0;
    n=200;
    h=(b-a)/(n-1);
    for i=1:n
        theta(i)=(i-1)*h;
        temp10=sin(theta(i));
        temp4(i)=((besselj(1,ka*temp10))^2).*temp10;
        temp1=mod(i,2);
        if i==1
            temp2=h/3;
        elseif i==(n+1)
            temp2=h/3;
        elseif temp1==0
            temp2=4*h/3;
        else
            temp2=2*h/3;
        end
        temp5=temp2*temp4(i);
        temp3=temp3+temp5;
    end
    temp6=(pi/2);
    temp7=ka^2;
    temp8=(120*pi);
    temp9=temp6*temp7*temp8;
    Output(j)=temp9*temp3;
    value(j)=ka;
    j=j+1;
end
plot(value,Output*1e-3,'r','linewidth',2)

function temp0=Integrate3_9b(a,b)

```

```

%*****
% constant
%*****
k=2*pi;
c=3*10^8;
w=2*pi*c;
I0=1;
u=4*pi*10^-7; %permeability
n=120*pi; %intrinsic impedance
a1=0.1;
j=1;
N=20; %number of point
for ka=0.01:0.04:N
    temp3=0;
    n=181;
    h=(b-a)/(n-1);
    for i=1:n
        theta(i) =(i-1)*h;
        temp18=sin(theta(i));
        temp4(i)=((besselj(1,ka*temp18))^2).*temp18;
        temp1=mod(i,2);
        if i==1
            temp2=h/3;
        elseif i==(n+1)
            temp2=h/3;
        elseif temp1==0
            temp2=4*h/3;
        else
            temp2=2*h/3;
        end
        temp5=temp2*temp4(i);
        temp3=temp3+temp5;
        end
        temp6=(ka*w*u)^2;
        temp7=pi;
        temp8=(I0)^2;
        temp9=4*n;
        temp10=((temp7*temp6)*temp8)/temp9;
        temp11=temp10*temp3;
U=0;
UMAX=0;
n=181;
h=(b-a)/(n-1);
for i=1:n
    theta=(i-1)*h;
    temp12=8*n;
    temp13=(temp6*temp8)/temp12;
    U=temp13*((besselj(1,ka*sin(theta)))^2);
    if (U>UMAX)
        UMAX=U;
    end
end
temp14(j)=UMAX;
temp15(j)=4*pi*UMAX/temp11;
temp0(j)=10*log10(temp15(j));
temp17(j)=ka;
j=j+1;
end
plot(temp17,temp0,'r','linewidth',2)
%%%%%%%%%%%%%

```

โปรแกรมแสดงการหาค่าความกว้างลำคลื่นครึ่งกำลัง (HPBW)

ความกว้างลำคลื่นครึ่งกำลังจะพิจารณาจากสภาพเจาะทิศทางในระนาบอิเล็กตรอน ที่ซึ่ง ϕ เท่ากับ ค่าคงที่ สภาพเจาะทิศทางจะได้รับการวิเคราะห์จากการประมาณในย่านสนามไกลและอนุกรมแมกโนริน ค่าความกว้างลำคลื่นครึ่งกำลัง จะคำนวณจากการประมาณเชิงเส้นกับจุดสองจุดของสภาพเจาะทิศทางบนระนาบที่ตั้งจากกันบ่วง โปรแกรม MATLAB สำหรับการหาค่าความกว้างลำคลื่นครึ่งกำลัง แสดงได้ดังนี้

```

clc
clear all
close all

%*****
%constant
%*****
k=2*pi;
int=120*pi;
E1=1;
I0=1;
r=1;
max_1=2*0.999*pi;
n=2000;
step=max_1/(n-1);

ak=0.1*2*pi;    %a= 0.1
%*****
%      E_plane_1
%*****
for ii=1:n
    theta=(ii-1)*step;
    temp1=r^2/(2*int);
    temp2=ak*int*I0*exp(-j*k*r)/(2*r);
    temp3=besselj(1,ak*sin(theta));
    temp4=temp1*abs(temp2*temp3)^2;
    y_db(ii,1)=5.35*log10(temp4);
    x(ii,1)=theta;
end

y_db_off=y_db-min(y_db(2:end));
polar(x,y_db_off,'-k')
title('\alpha = 0.1')

%*****
% Half Power Beamwidth
%*****
temp68 =max(y_db_off)/2;
for ii=2:(n)
    theta=(ii-1)*step;
    theta_now(ii,1)=theta;
    temp69=y_db_off(ii-1,1)<temp68;
    temp70=y_db_off(ii,1)>temp68;
    if temp69&temp70
        break
    end
end

```

```

del_theta=theta_now(ii,1)-theta_now(ii-1,1);
del_dir=y_db_off(ii,1)-y_db_off(ii-1,1);
temp71=temp68-y_db_off(ii-1,1);
temp72=theta_now(ii-1,1)+del_theta*temp71/del_dir;
hpbw_degree1=temp72*180/pi;
hold on
ylin=0:max(y_db_off);
xlin=temp72*ones(1,length(ylin));
polar(xlin,ylin,'k')

for ii=2:(n)
    theta=(ii-1)*step;
    theta_now(ii,1)=theta;
    temp69=y_db_off(ii-1,1)>temp68;
    temp70=y_db_off(ii,1)<temp68;
    if temp69&temp70
        break
    end
end

del_theta=theta_now(ii,1)-theta_now(ii-1,1);
del_dir=y_db_off(ii,1)-y_db_off(ii-1,1);
temp71=temp68-y_db_off(ii-1,1);
temp72=theta_now(ii-1,1)+del_theta*temp71/del_dir;
hpbw_degree2=temp72*180/pi;
hold on
ylin=0:max(y_db_off);
xlin=temp72*ones(1,length(ylin));
polar(xlin,ylin,'k')
hpbw_degreea01=hpbw_degree2-hpbw_degree1
hpbw_db01=temp68

figure()
ak=0.2*2*pi; %a = 0.2
%*****
% E_plane_1
%*****
for ii=1:n
    theta=(ii-1)*step;
    temp1=r^2/(2*int);
    temp2=ak*int*I0*exp(-j*k*r)/(2*r);
    temp3=besselj(1,ak*sin(theta));
    temp4=temp1*abs(temp2*temp3)^2;
    y_db(ii,1)=5.35*log10(temp4);
    x(ii,1)=theta;
end
y_db_off=y_db-min(y_db(2:end));
polar(x,y_db_off,'--k')
title('\alpha = 0.2')

%*****
% Half Power Beamwidth
%*****
temp68 =max(y_db_off)/2;
for ii=2:(n)
    theta=(ii-1)*step;
    theta_now(ii,1)=theta;
    temp69=y_db_off(ii-1,1)<temp68;
    temp70=y_db_off(ii,1)>temp68;
    if temp69&temp70
        break
    end
end

```

```

        end
    end

    del_theta=theta_now(ii,1)-theta_now(ii-1,1);
    del_dir=y_db_off(ii,1)-y_db_off(ii-1,1);
    temp71=temp68-y_db_off(ii-1,1);
    temp72=theta_now(ii-1,1)+del_theta*temp71/del_dir;
    hpbw_degree1=temp72*180/pi;
    hold on

    ylin=0:max(y_db_off);
    xlin=temp72*ones(1,length(ylin));
    polar(xlin,ylin,'k')

    for ii=2:(n)
        theta=(ii-1)*step;
        theta_now(ii,1)=theta;
        temp69=y_db_off(ii-1,1)>temp68;
        temp70=y_db_off(ii,1)<temp68;
        if temp69&temp70
            break
        end
    end
    del_theta=theta_now(ii,1)-theta_now(ii-1,1);
    del_dir=y_db_off(ii,1)-y_db_off(ii-1,1);
    temp71=temp68-y_db_off(ii-1,1);
    temp72=theta_now(ii-1,1)+del_theta*temp71/del_dir;
    hpbw_degree2=temp72*180/pi;
    hold on

    ylin=0:max(y_db_off);
    xlin=temp72*ones(1,length(ylin));
    polar(xlin,ylin,'k')
    hpbw_degree02=hpbw_degree2-hpbw_degree1;
    hpbw_db02=temp68

    figure()
    ak=0.5*2*pi;      %a = 0.5
    %*****E_plane_1*****
    for ii=1:n
        theta=(ii-1)*step;
        temp1=r^2/(2*int);
        temp2=ak*int*I0*exp(-j*k*r)/(2*r);
        temp3=besselj(1,ak*sin(theta));
        temp4=temp1*abs(temp2*temp3)^2;
        y_db(ii,1)=6.3*log10(temp4);
        x(ii,1)=theta;
    end
    y_db_off=y_db-min(y_db(2:end));
    polar(x,y_db_off,'-b')

    %*****Half Power Beamwidth*****
    temp68 =max(y_db_off)/2;
    for ii=2:(n)
        theta=(ii-1)*step;
        theta_now(ii,1)=theta;
        temp69=y_db_off(ii-1,1)<temp68;

```

```

temp70=y_db_off(ii,1)>temp68;
if temp69&temp70
    break
end
end

del_theta=theta_now(ii,1)-theta_now(ii-1,1);
del_dir=y_db_off(ii,1)-y_db_off(ii-1,1);
temp71=temp68-y_db_off(ii-1,1);
temp72=theta_now(ii-1,1)+del_theta*temp71/del_dir;
hpbw_degree1=temp72*180/pi;
hold on

ylin=0:max(y_db_off);
xlin=temp72*ones(1,length(ylin));
polar(xlin,ylin,'k')

for ii=2:(n)
    theta=(ii-1)*step;
    theta_now(ii,1)=theta;
    temp69=y_db_off(ii-1,1)>temp68;
    temp70=y_db_off(ii,1)<temp68;
    if temp69&temp70
        break
    end
end

del_theta=theta_now(ii,1)-theta_now(ii-1,1);
del_dir=y_db_off(ii,1)-y_db_off(ii-1,1);
temp71=temp68-y_db_off(ii-1,1);
temp72=theta_now(ii-1,1)+del_theta*temp71/del_dir;
hpbw_degree2=temp72*180/pi;
hold on

ylin=0:max(y_db_off);
xlin=temp72*ones(1,length(ylin));
polar(xlin,ylin,'k')
hpbw_degree05=hpbw_degree2-hpbw_degree1
hpbw_db05=temp68
title('\alpha = 0.5')
% legend('\alpha = 0.1','\alpha = 0.2','\alpha = 0.5')

%%%%%%%%%%%%%%%

```